

NOTAS DE AULA

FUNÇÕES DE VÁRIAS VARIÁVEIS -
INTEGRAÇÃO

Cláudio Martins Mendes

Segundo Semestre de 2005

Sumário

1	Funções de Várias Variáveis - Integração	2
1.1	Integrais Iteradas	2
1.2	Integrais Múltiplas	4
1.3	Mudança de Variáveis	22
1.4	Algumas Aplicações	36
1.4.1	Densidade - Centro de Massa	36
1.4.2	Momento de Inércia	40

Capítulo 1

Funções de Várias Variáveis - Integração

1.1 Integrais Iteradas

Suponhamos que $f(x, y)$ seja contínua num retângulo R , $a \leq x \leq b$, $c \leq y \leq d$.

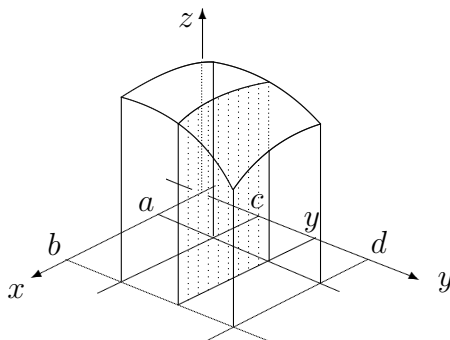
Consideremos

$$F(y) = \int_a^b f(x, y) dx$$

Prova-se que a função F é contínua em $[c, d]$. Logo, tem sentido escrever:

$$\int_c^d F(y) dy = \int_c^d \left(\int_a^b f(x, y) dx \right) dy .$$

Uma integral desse tipo é chamada **integral iterada**.



A região de integração das integrais iteradas não precisa, necessariamente, ser um retângulo.

Podemos fazer integrais iteradas sobre regiões como exemplificam as figuras:

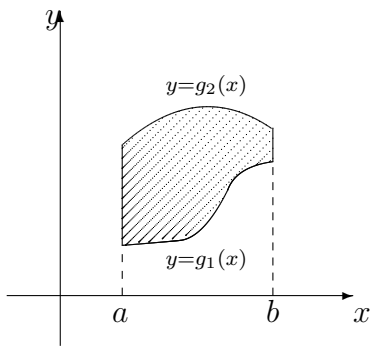


Figura 1

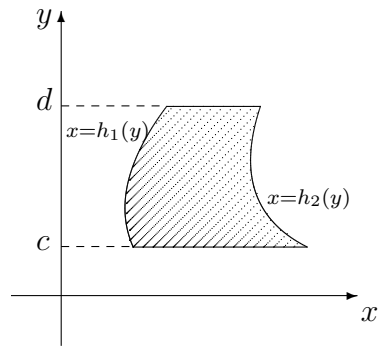


Figura 2

Na figura (1) temos:

$$\int_a^b \int_{g_1(x)}^{g_2(x)} f(x, y) dy dx .$$

Na figura (2) temos:

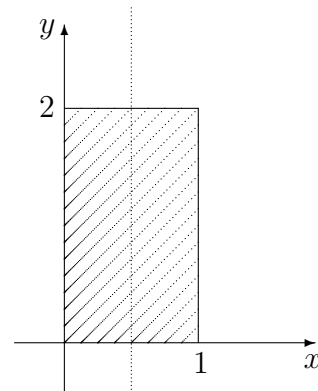
$$\int_c^d \int_{h_1(y)}^{h_2(y)} f(x, y) dx dy .$$

Exemplos:

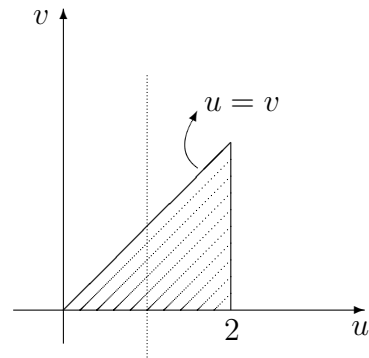
1. $\int_0^1 \int_0^2 (x^2 + y^2) dy dx = I$

$$I = \int_0^1 \left(x^2 y + \frac{y^3}{3} \right) \Big|_0^2 dx =$$

$$= \int_0^1 \left(2x^2 + \frac{8}{3} \right) dx = \left(\frac{2x^3}{3} + \frac{8}{3}x \right) \Big|_0^1 = \frac{10}{3} .$$

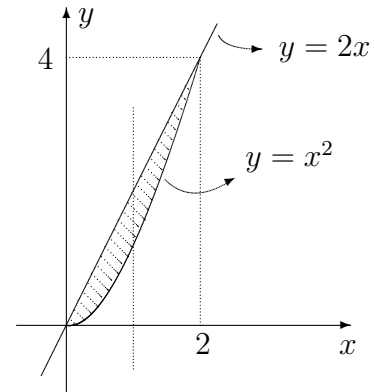


2. $\int_0^2 \int_0^u 5u^2 v dv du$



$$3. \int_0^1 \int_0^1 \int_0^1 (x^2 - yz) dz dy dx = \dots = \frac{1}{12}$$

$$4. \int_0^2 \int_{x^2}^{2x} (x^3 + 4y) dy dx = \dots = \frac{32}{3}$$

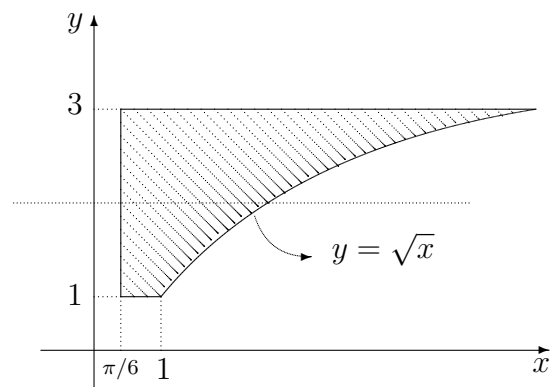


$$5. \int_1^3 \int_{\pi/6}^{y^2} 2y \cos x dx dy = I$$

$$I = \int_1^3 2y \sin x \Big|_{\pi/6}^{y^2} dy =$$

$$= \int_1^3 (2y \sin y^2 - y) dy =$$

$$= \left(-\cos y^2 - \frac{1}{2} y^2 \right) \Big|_1^3 = \cos 1 - \cos 9 - 4$$



Uma outra **notação** que usaremos para as integrais iteradas é:

$$\int_a^b dy \int_{h(y)}^{g(y)} f(x, y) dx, \text{ onde}$$

$$\int_a^b dy \int_{h(y)}^{g(y)} f(x, y) dx = \int_a^b \int_{h(y)}^{g(y)} f(x, y) dx dy.$$

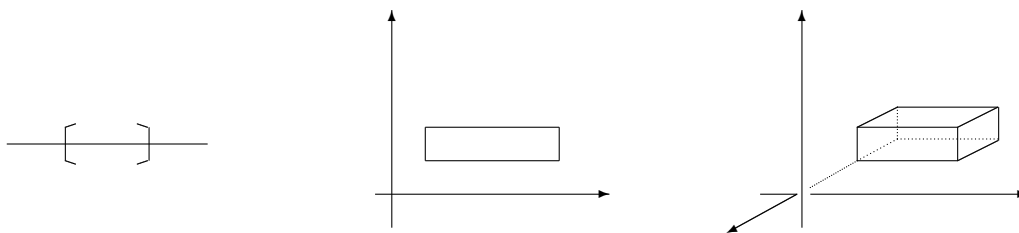
1.2 Integrais Múltiplas

Consideremos agora $f : B \subset \mathbb{R}^n \rightarrow \mathbb{R}$.

Problema: Definir a integral de f sobre B , análoga à definição para função de uma variável.

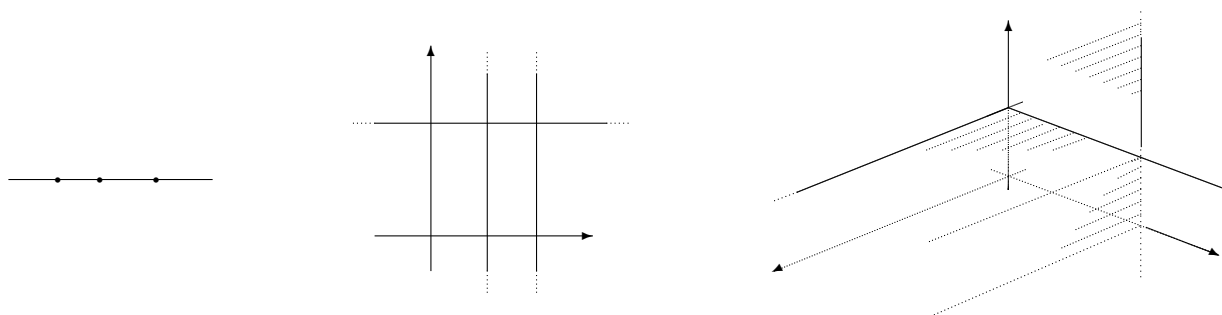
Um retângulo coordenado fechado R no \mathbb{R}^n é um subconjunto do \mathbb{R}^n constituído de todos os pontos $x = (x_1, \dots, x_n)$ que satisfazem às desigualdades:

$$a_i \leq x_i \leq b_i \quad , \quad i = 1, 2, \dots, n$$



O volume de R , denotado por $V(R)$, é definido como $V(R) = (b_1 - a_1) \cdots (b_n - a_n)$. Se para algum i , $a_i = b_i$, então o retângulo é degenerado e $V(R) = 0$.

Um número finito de planos $n-1$ dimensionais no \mathbb{R}^n , paralelos aos planos coordenados, é chamado uma rede.

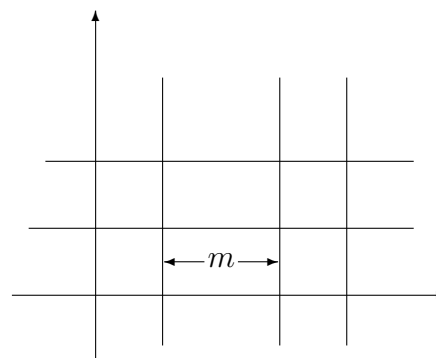


Uma rede sempre divide o \mathbb{R}^n em um número finito de conjuntos limitados (retângulos) e um número finito de conjuntos não limitados.

Dizemos que uma rede cobre um conjunto $B \subset \mathbb{R}^n$, se este estiver contido na reunião dos retângulos fechados R_1, \dots, R_r , por ela determinados.

Claramente, um conjunto pode ser coberto por uma rede se, e somente se, ele é limitado.

Malha da rede será o maior comprimento dos lados dos retângulos por ela determinados.



$m =$ malha da rede

Definição 1.2.1. *Sejam $f : \mathbb{R}^n \rightarrow \mathbb{R}$ e $B \subset \mathbb{R}^n$, tais que:*

a) *B é um subconjunto limitado.*

b) *f é limitada sobre B .*

Seja ainda:

$$f_B(x) = \begin{cases} f(x) & \text{se } x \in B \\ 0 & \text{se } x \notin B. \end{cases}$$

Tomemos G uma rede que cobre B e que tenha malha $m(G)$. Em cada um dos retângulos coordenados R_i determinados por G , $i = 1, \dots, r$, escolhemos um ponto arbitrário P_i .

A soma:

$$\sum_{i=1}^r f_B(P_i)V(R_i)$$

é chamada uma soma de Riemann de f sobre B .

Dados f e B , este valor depende da rede G e dos pontos escolhidos P_1, \dots, P_r .

Se, variando as redes G , com $m(G)$ tendendo a zero,

$$\lim_{m(G) \rightarrow 0} \sum_{i=1}^r f_B(P_i)V(R_i)$$

existe ele é chamado a integral de f sobre B , sendo denotado por:

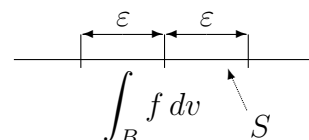
$$\int_B f dv$$

Se a integral existe, então f é dita integrável sobre B .

$$\lim_{m(G) \rightarrow 0} \sum_{i=1}^r f_B(P_i)V(R_i) = \int_B f dv$$

significa que para $\varepsilon > 0$ dado, existe $\delta > 0$, tal que se G é qualquer rede que cobre B e tem malha menor que δ , sendo S uma soma de Riemann arbitrária para f_B formada de G , então:

$$\left| S - \int_B f dv \right| < \varepsilon.$$



Notações:

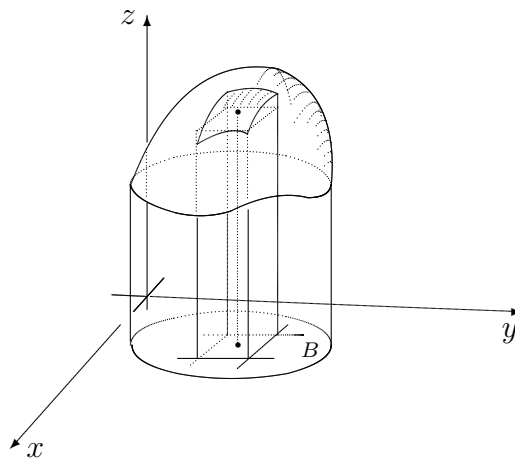
$$\int_B f dA \qquad \int_B f(x, y) dx dy \qquad \iint_B f(x, y) dx dy \qquad n = 2$$

$$\int_B f(x, y, z) dx dy dz \qquad \iiint_B f(x, y, z) dx dy dz \qquad n = 3$$

$$\int_B f(x_1, \dots, x_n) dx_1 \dots dx_n.$$

Para interpretar, geometricamente, o significado da integral dupla $\iint_B f(x, y) dx dy$, suporemos f positiva e contínua sobre B (supondo a existência da integral).

Então, o gráfico de f é uma superfície que está acima do plano xy . A soma de Riemann é a soma dos volumes dos paralelepípedos cujas bases são os retângulos determinados pela rede e cujas alturas correspondentes são os valores $f(x_i, y_i)$.



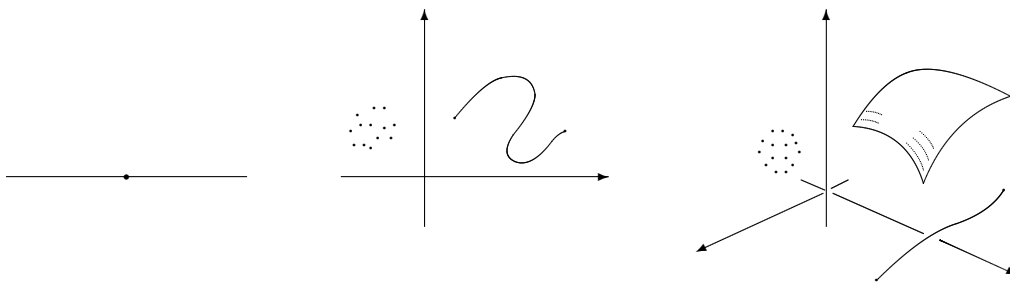
Quando a malha da rede tende a zero, essas somas vão se aproximando do que podemos chamar volume do sólido S , delimitado pelo domínio B , pelo gráfico de f , e pelas retas que passam pela fronteira de B e são paralelas ao eixo z . Definimos então:

$$V(S) = \iint_B f(x, y) dx dy.$$

Surge a primeira pergunta: Quais seriam as condições, sobre a função f e sobre o conjunto B , que poderiam garantir a existência da $\iint_B f dv$?

Vejamos uma definição, antes de enunciarmos o Teorema que dará a resposta a esta pergunta.

Definição 1.2.2. Conjunto suave em \mathbb{R}^n é a imagem de um conjunto compacto sob uma função $\phi : \mathbb{R}^m \rightarrow \mathbb{R}^n$, $m < n$ e ϕ de classe C^1 . Conjunto suave em \mathbb{R} será entendido como um conjunto unitário.



Tipos de Conjuntos Suaves

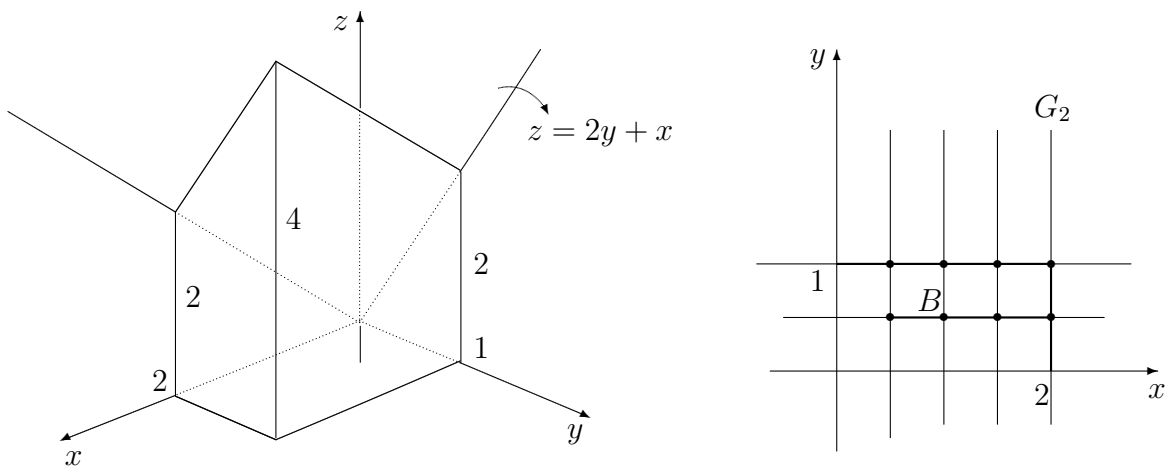
A idéia intuitiva de conjunto suave é a de que o conjunto deve ter “volume” nulo no espaço em que estiver contido.

Teorema 1.2.3. Seja $B \subset \mathbb{R}^n$, limitado, tal que a fronteira de B esteja contida em um número finito de conjuntos suaves. Seja ainda f definida e limitada em B . Se f é contínua sobre B , exceto talvez sobre um número finito de conjuntos suaves, então f é integrável sobre B . O valor de $\int_B f dv$ não se altera por troca de valores de f sobre qualquer conjunto suave.

Exemplo:

$$\int_B (2y + x) dx dy,$$

onde $B = \{(x, y) \in \mathbb{R}^2 / 0 \leq x \leq 2 \text{ e } 0 \leq y \leq 1\}$



Observe que a existência da integral está assegurada pelo Teorema anterior. Por esta razão, qualquer seqüência de somas de Riemann associadas a redes que têm malhas tendendo a zero, pode ser usada para avaliar a integral.

Para cada $n = 1, 2, 3, \dots$ consideremos a rede G_n constituída das retas $x = \frac{i}{n}$, $i = 0, \dots, 2n$ e $y = \frac{j}{n}$, $j = 0, \dots, n$.

Temos:

$$m(G_n) = \frac{1}{n}$$

$$\text{área de } R_{ij} = \frac{1}{n^2}.$$

Em cada um dos retângulos coordenados, escolhemos os pontos $x_{ij} = (x_i, y_j) = \left(\frac{i}{n}, \frac{j}{n}\right)$ $i = 1, \dots, 2n$; $j = 1, \dots, n$.

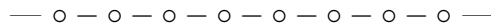
Formamos então a soma de Riemann:

$$\begin{aligned} \sum_{i=1}^{2n} \sum_{j=1}^n (x_i + 2y_j) A(R_{ij}) &= \sum_{i=1}^{2n} \sum_{j=1}^n \left(\frac{i}{n} + \frac{2j}{n} \right) \frac{1}{n^2} = \frac{1}{n^3} \sum_{i=1}^{2n} \sum_{j=1}^n (i + 2j) = \\ &= \frac{1}{n^3} \sum_{i=1}^{2n} \left(ni + 2 \cdot \frac{1+n}{2} \cdot n \right) = \frac{1}{n^2} \sum_{i=1}^{2n} (i + 1 + n) = \\ &= \frac{1}{n^2} \left[\frac{(1+2n)}{2} \cdot 2n + (1+n) \cdot 2n \right] = \\ &= \frac{2}{n} \left(\frac{1+2n}{2} + 1 + n \right) = 4 + \frac{3}{n} \end{aligned}$$

$$\therefore \int_B (2y + x) dx dy = \lim_{n \rightarrow \infty} \left(4 + \frac{3}{n}\right) = 4$$

Observação: Compare este resultado com o volume do sólido S sob o gráfico de $f(x, y) = 2y + x$ e acima de $[0, 2] \times [0, 1]$. (Neste caso particular o volume é de cálculo direto)

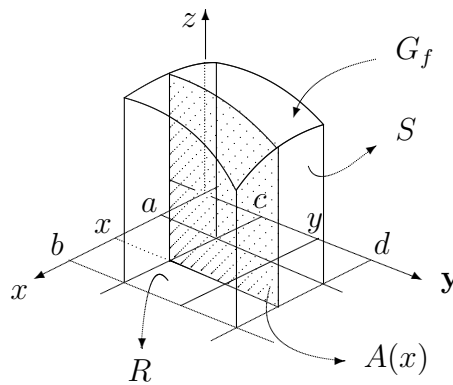
O exemplo anterior mostra que uma avaliação direta da integral múltipla pode ser muito difícil. Agora vamos avançar no sentido de vencer esta dificuldade.



Antes de prosseguirmos, vejamos um caso especial:

Consideremos $f : [a, b] \times [c, d] \rightarrow \mathbb{R}$, f contínua e $f \geq 0$.

Foi visto em Cálculo de uma Variável que: $Vol(S) = \int_a^b A(x) dx$



Observemos que nesta situação temos $A(x) = \int_c^d f(x, y) dy$

Assim $Vol(S) = \int_a^b \left(\int_c^d f(x, y) dy \right) dx$

Pelo visto anteriormente, também temos: $Vol(S) = \int_R f(x, y) dx dy$

Logo, pelo menos neste caso,

$$\int_R f(x, y) dx dy = \int_a^b \left(\int_c^d f(x, y) dy \right) dx$$

ou seja, a integral múltipla é igual à integral iterada.

Surge então a pergunta geral:

O que dizer da integral múltipla, relativamente à integral iterada, quando ambas estão definidas?

O Teorema a seguir dará a resposta à esta pergunta.

Teorema 1.2.4. (Teorema de Fubini) *Seja B um subconjunto do \mathbb{R}^n tal que a integral iterada*

$$\int dx_1 \int dx_2 \cdots \int f dx_n$$

existe sobre B . Se a integral múltipla $\int_B f dv$ existe, então as duas integrais são iguais.

Corolário 1.2.5. *Se $\int_B f dv$ existe e as integrais iteradas existem para algumas ordens de integração, então todas as integrais são iguais.*

Exemplos:

1. Avaliar a integral $\int_B (2y + x) dx dy$, onde B é o retângulo $0 \leq x \leq 2$ e $0 \leq y \leq 1$.

Aplicando os Teoremas anteriores temos:

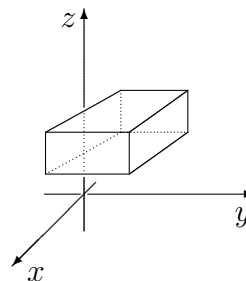
$$\int_B (2y + x) dx dy = \int_0^2 dx \int_0^1 (2y + x) dy = \int_0^2 (1 + x) dx = \left(x + \frac{x^2}{2}\right) \Big|_0^2 = 2 + 2 = 4$$

2. Seja R o retângulo definido por $-1 \leq x \leq 2$, $0 \leq y \leq 2$, $1 \leq z \leq 2$.

Considere $f(x, y, z) = xyz$.

Então:

$$\begin{aligned} \int_R f dv &= \int_R xyz dx dy dz = \\ &= \int_{-1}^2 dx \int_0^2 dy \int_1^2 xyz dz = \cdots = \frac{9}{8}. \end{aligned}$$



Observação: Registramos aqui o fato de que é possível a existência da integral iterada sem que exista a integral múltipla.

Exemplo:

$$f(x, y) = \begin{cases} 1 & , \text{ se } x \text{ é racional} \\ 2y & , \text{ se } x \text{ é irracional} \end{cases}$$

$$\int_0^1 dx \int_0^1 f(x, y) dy = \int_0^1 1 dx = 1.$$

Mas $\int_R f dA$ não existe, onde $R = [0, 1] \times [0, 1]$.

De fato:

Seja G uma rede, do tipo ao lado, cobrindo R .

Vamos formar duas somas de Riemann, a partir da rede G .

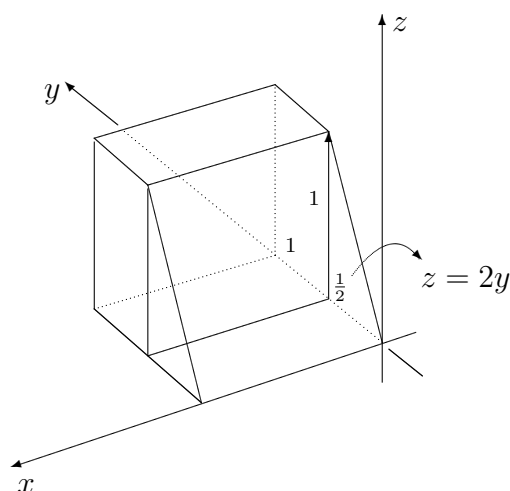
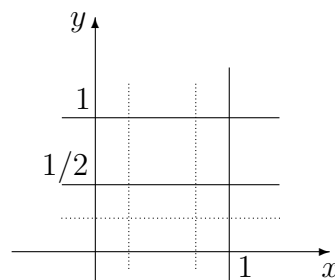
Primeira Soma: nos retângulos coordenados escolhemos pontos (x_i, y_j) , tais que $x_i \in Q$. Logo,

$$S_1 = 1.$$

Segunda Soma: até a altura $y = \frac{1}{2}$ escolhemos pontos (x_i, y_j) nos retângulos coordenados tais que $x_i \notin Q$. Logo, esta parcela da soma de Riemann converge para $\frac{1}{4}$ à medida que $m(G) \rightarrow 0$. Depois de $y = \frac{1}{2}$ escolhemos pontos (x_i, y_j) , tais que $x_i \in Q$. Esta segunda parcela da soma de Riemann dará $\frac{1}{2}$.

$$\text{Assim, } S_2 \rightarrow \frac{1}{4} + \frac{1}{2} = \frac{3}{4}.$$

Deste modo, as somas de Riemann não convergem para nenhum número real.



Seja a função $f \equiv 1$ integrável sobre um conjunto $B \subset R^n$. Então definimos **volume** de B

como sendo:

$$V(B) = \int_B 1 \, dv = \int_B dv .$$

No caso de $B \subset \mathbb{R}^2$ o volume anteriormente definido é o que chamamos de área. Escrevemos, então, $A(B)$ e não $V(B)$.

Segue, da última parte do Teorema 13 que o volume de um conjunto suave é igual a zero:

$$V(S) = \int_S 1 \, dv = \int_S 0 \, dv = 0 .$$

Para alguns conjuntos B , a integral $\int_B dv$ não existe. Quando isto acontece, o volume de B não está definido.

Exemplo:

$$B = [0, 1] \cap \mathbb{Q}$$

$$\int_B dx \text{ não existe (Pense em dois tipos de somas de Riemann)}$$

Observação 1: Para retângulos R o volume $V(R)$ tem sido definido de duas maneiras:

- (i) Como produto dos comprimentos dos lados.
- (ii) Como uma integral.

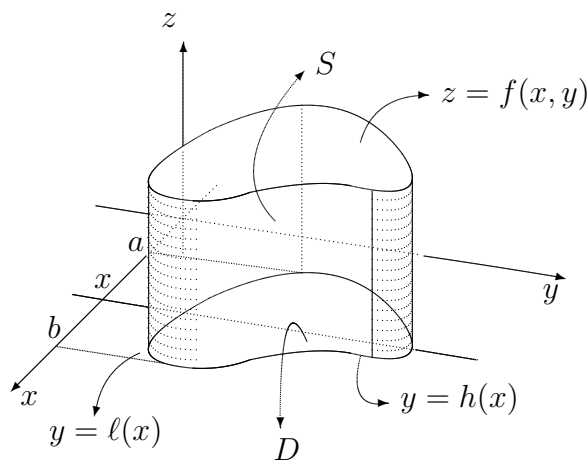
As duas definições são compatíveis pelos Teoremas 1.2.3 e 1.2.4.

$$\int_R dv = \int_{a_1}^{b_1} dx_1 \cdots \int_{a_n}^{b_n} dx_n = (b_1 - a_1) \cdots (b_n - a_n) .$$

Observação 2: Seja $f(x, y) \geq 0$, tal que $\int_D f \, dA$ exista, onde $D \subset \mathbb{R}^2$.

Na situação ao lado, o volume do sólido S tem sido definido de duas maneiras, que são compatíveis, pois:

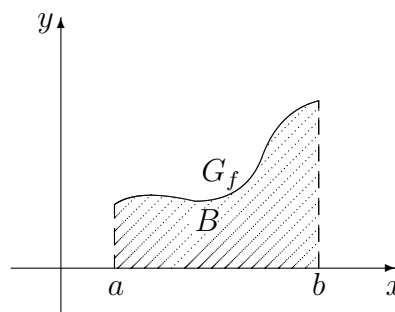
$$\begin{aligned} V(S) &= \int_S 1 \, dv = \int_a^b dx \int_{\ell(x)}^{h(x)} dy \int_0^{f(x,y)} dz = \\ &= \int_a^b dx \int_{\ell(x)}^{h(x)} f(x, y) dy = \int_D f \, dA . \end{aligned}$$



Exercícios resolvidos:

1. Seja B a região do plano representada abaixo. Calcule a área de B .

$$\begin{aligned} A(B) &= \int_B dA = \int_a^b dx \int_0^{f(x)} dy = \\ &= \int_a^b f(x) dx. \end{aligned}$$

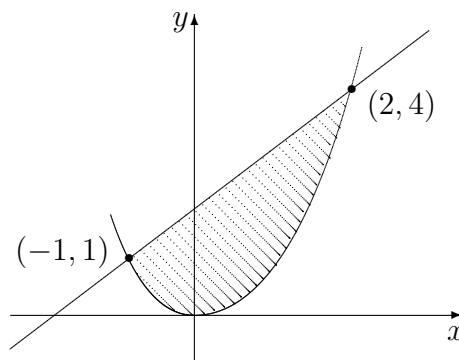


2. Calcular a área entre a parábola $y = x^2$ e a reta $y = x + 2$, representada abaixo:

$$A = \int_{-1}^2 dx \int_{x^2}^{x+2} dy$$

ou

$$A = \int_0^1 dy \int_{-\sqrt{y}}^{\sqrt{y}} dx + \int_1^4 dy \int_{y-2}^{\sqrt{y}} dx.$$



(Note como é importante a ordem de integração)

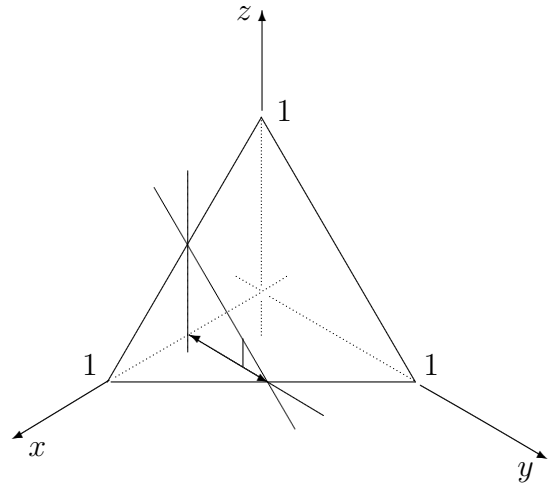
3. Ache o volume da região $B \subset R^3$, limitada pelos planos coordenados $x = 0$, $y = 0$, $z = 0$ e $x + y + z = 1$

$$V(B) = \int_B dv = \int_0^1 dx \int_0^{1-x} dy \int_0^{1-x-y} dz = \dots = \frac{1}{6}$$

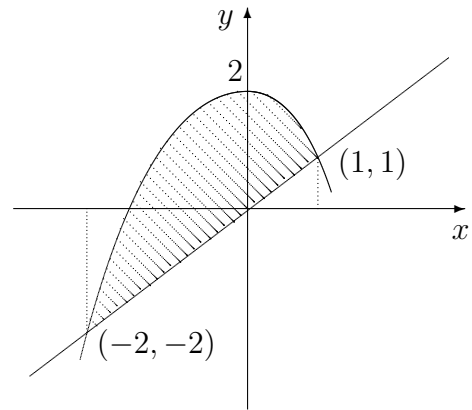
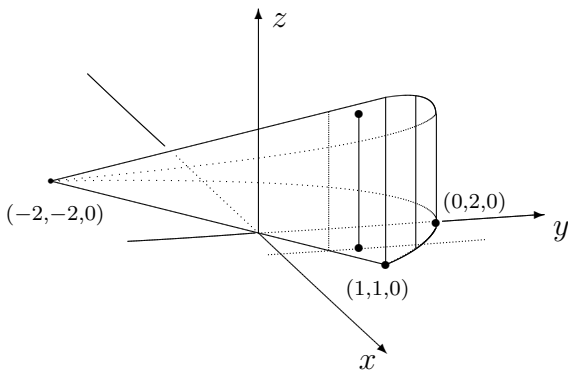
Poderíamos resolver também pensando

como o gráfico de $f(x, y) = 1 - x - y$

$$V(B) = \int_0^1 dx \int_0^{1-x} (1 - x - y) dy = \dots = \frac{1}{6}$$



4. Determine o volume do sólido cuja base é a região do plano xy delimitada pela parábola $y = 2 - x^2$ e pela reta $y = x$ e cuja parte superior está contida no plano $z = x + 2$.



$$V = \int_{-2}^1 dx \int_x^{2-x^2} dy \int_0^{x+2} dz = \dots = \frac{27}{4}$$

ou

$$V = \int_{-2}^1 dx \int_x^{2-x^2} (x + 2) dy = \dots = \frac{27}{4}$$

— // — // —

Regra Geral: Para estabelecer os limites de uma integral iterada, devemos primeiramente escolher as variáveis externa, intermediária e interna. Digamos, por exemplo, x , y e z respectivamente.

Primeira Etapa:

Achar os valores extremos da variável externa. Por exemplo:

$$\int_a^b dx \int dy \int f(x, y, z) dz .$$

Segunda Etapa:

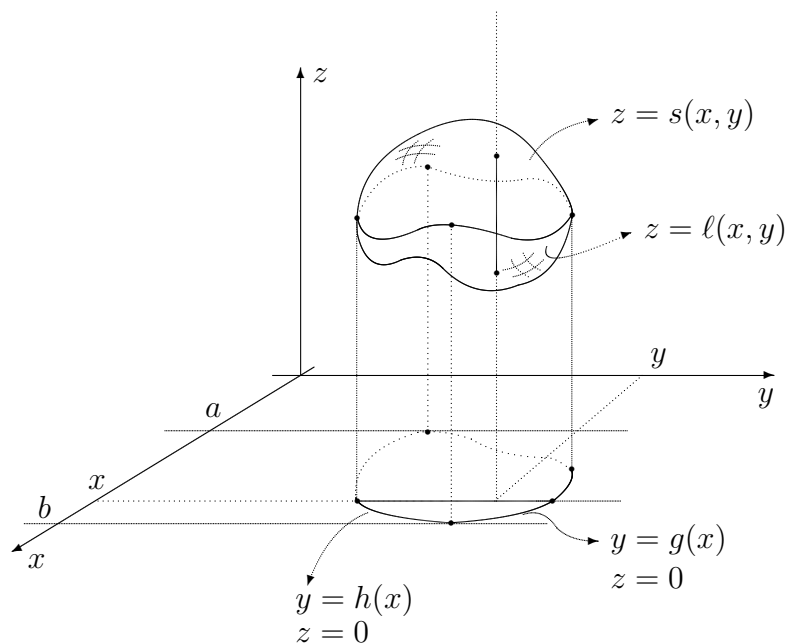
Fixe a variável externa num determinado valor, determinando um corte na região sólida.

Determine os valores extremos da variável intermediária neste corte. Por exemplo:

$$\int_a^b dx \int_{h(x)}^{g(x)} dy \int f(x, y, z) dz .$$

Terceira Etapa:

Fixe agora, neste corte, a variável intermediária, obtendo um segmento de reta. Determine os valores extremos da variável interna. Por exemplo:



$$\int_a^b dx \int_{h(x)}^{g(x)} dy \int_{l(x,y)}^{s(x,y)} f(x, y, z) dz$$



Vejamos agora algumas propriedades das integrais múltiplas

1. Se f e g são integráveis sobre B e se a, b são números reais, então $af + bg$ é integrável sobre B e

$$\int_B (af + bg)dv = a \int_B f dv + b \int_B g dv$$

2. Se $f \geq 0$ é integrável sobre B , então

$$\int_B f dv \geq 0$$

3. Se f e g são integráveis sobre B e $f \leq g$ sobre B , então:

$$\int_B f dv \leq \int_B g dv$$

4. Se f é integrável sobre cada um dos conjuntos disjuntos B_1 e B_2 , então f é integrável sobre $B_1 \cup B_2$ e

$$\int_{B_1 \cup B_2} f dv = \int_{B_1} f dv + \int_{B_2} f dv$$

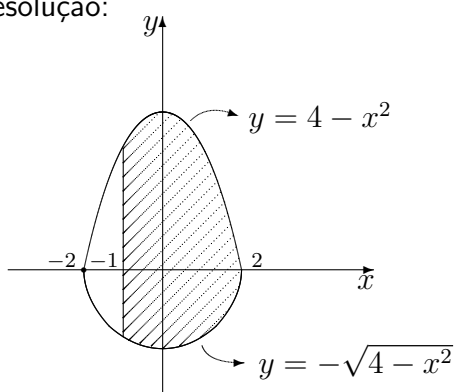
Observemos que isto generaliza a seguinte propriedade: ($a \leq c \leq b$)

$$\int_a^b f(x)dx = \int_a^c f(x)dx + \int_c^b f(x)dx$$

Exercícios resolvidos:

1. Desenhe a região de integração referente à integral $\int_{-1}^2 dx \int_{-\sqrt{4-x^2}}^{4-x^2} dy$

Resolução:

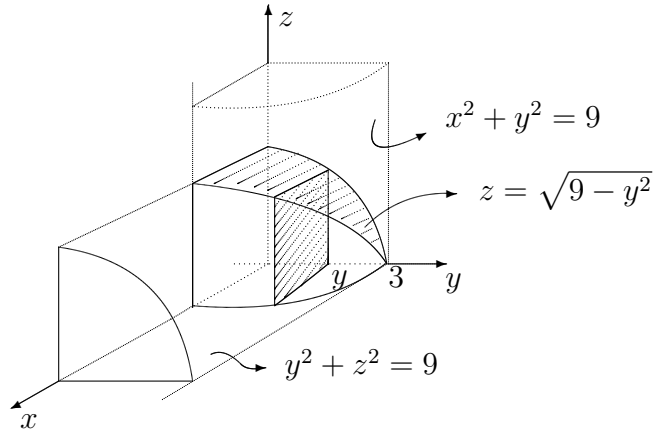


2. Encontre o volume do sólido limitado pelos gráficos de $x^2 + y^2 = 9$ e $y^2 + z^2 = 9$.

Resolução:

Notemos inicialmente que o gráfico de cada uma das equações representa um cilindro,

com eixo sendo um dos eixos coordenados e raio igual a 3. A representação da porção do sólido situada no primeiro octante seria:



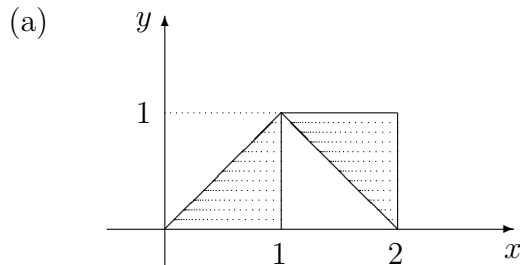
Assim, calculando como volume sob o gráfico da função $f(x, y) = \sqrt{9 - y^2}$ temos:

$$V = 8 \cdot \int_0^3 dy \int_0^{\sqrt{9-y^2}} \sqrt{9-y^2} dx = \dots = 144$$

3. (a) Desenhe a região de integração $\int_0^1 dx \int_0^x dy + \int_1^2 dx \int_{2-x}^1 dy$

(b) Sem calcular, dê o valor da integral.

Resolução:



(b) Observemos que a integral representa a área da região formada por dois triângulos de base 1 e altura 1 e assim seu valor é 1.

4. Dada a expressão

$$\int_0^2 dx \int_0^{\sqrt{1-(x-1)^2}} dy + \int_{-1}^0 dy \int_{3-\sqrt{1-y^2}}^{3+\sqrt{1-y^2}} dx$$

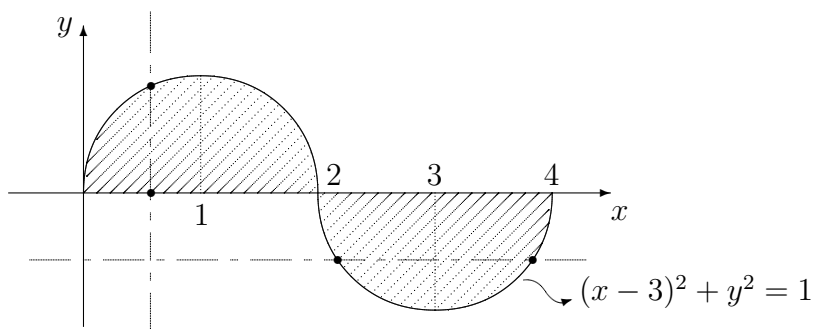
Pede-se:

(a) Região de integração.

(b) Valor da integral.

Resolução:

(a)



(b) Observemos que a integral representa a área da região anterior, a qual é igual a área do círculo de raio 1, e assim o valor da integral é π .

5. Ache a massa do cilindro C a seguir, se a densidade em cada ponto é proporcional a distância à base inferior.

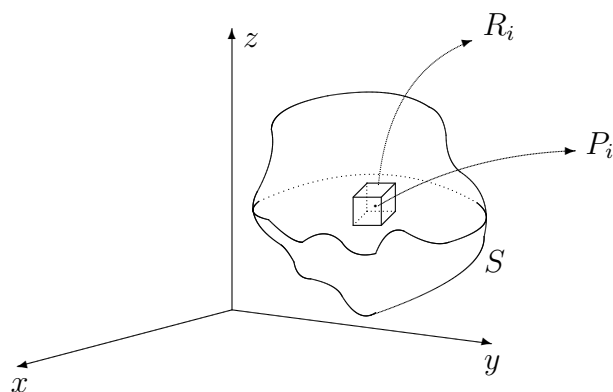
Resolução:

Aproveitemos este exercício para introduzir a Situação Geral:

Seja um sólido S , com densidade $\rho(P)$ no ponto P , sendo a função ρ contínua sobre S .

Por definição:

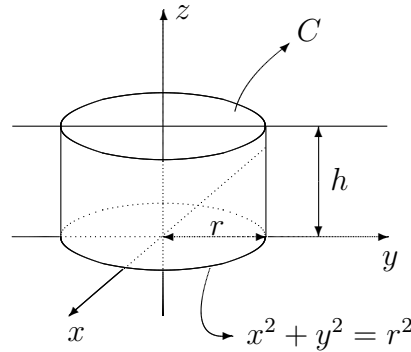
$$\text{Massa} = M = \lim_{m(G) \rightarrow 0} \sum_i \rho(P_i) \text{Vol}(R_i) = \int_S \rho \, dv$$



No caso particular de termos $\rho(P) \equiv K = \text{constante}$ podemos escrever:

$$M = \int_S \rho \, dv = \rho \int_S dv = \rho \cdot \text{Vol}(S)$$

Voltando então ao caso do exercício proposto temos: $\rho(x, y, z) = Kz$



Assim:

$$\begin{aligned} M &= \int_C \rho(x, y, z) dx dy dz = \int_{-r}^r dx \int_{-\sqrt{r^2-x^2}}^{\sqrt{r^2-x^2}} dy \int_0^h Kz dz = 4K \int_0^r dx \int_0^{\sqrt{r^2-x^2}} dy \int_0^h z dz = \\ &= 4K \int_0^r dx \int_0^{\sqrt{r^2-x^2}} \frac{h^2}{2} dy = 2Kh^2 \int_0^r \sqrt{r^2-x^2} dx = 2Kh^2 \frac{1}{4} \pi r^2 = \frac{1}{2} Kh^2 r^2 \pi. \end{aligned}$$

Estamos usando a simetria do problema (da região e da função) e ainda que $\int_0^r \sqrt{r^2-x^2} dx$ é igual a um quarto da área do círculo de raio r .

Exercícios propostos 1.2

1. Desenhe a região de integração para a integral iterada: $\int_0^1 dy \int_{\sqrt{y}}^{\sqrt[3]{y}} f(x, y) dx$

2. Calcule $\int_R f dv$ para as seguintes escolhas de f e R

(a) $f(x, y, z) = \sqrt{x+y+z}$

R : Cubo de vértices $(0, 0, 0)$, $(1, 0, 0)$, $(0, 1, 0)$, $(0, 0, 1)$, $(1, 0, 1)$, $(0, 1, 1)$, $(1, 1, 0)$ e $(1, 1, 1)$.

(b) $f(x, y, z) = x^2 y z$

R : Tetraedro de vértices $(0, 0, 0)$, $(1, 0, 0)$, $(1, 1, 0)$ e $(1, 1, 1)$.

(c) $f(x, y, z) = x + z$

R : $x^2 + y^2 + z^2 \leq 1$, $x \geq 0$, $y \geq 0$, $z \geq 0$.

3. Determinar o volume do sólido no 1º octante limitado pelos planos coordenados e os gráficos das equações: $z = x^2 + y^2 + 1$ e $2x + y = 2$.

4. Justifique as desigualdades:

(a) $0 \leq \int_R (x^2 + y^2) dx dy \leq 30$ $R : [0, 1] \times [0, 3]$.

(b) $\frac{4}{3} \leq \int_R e^{xy} dx dy \leq \frac{4e^2}{3}$ $R : \begin{cases} 0 \leq x \leq 1 \\ 0 \leq y \leq 1 + x^2 \end{cases}$

(c) $84\pi e^{-16} \leq \int_R e^{-x^2-y^2-z^2} dx dy dz \leq 84\pi e^{-1}$ $R : 1 \leq x^2 + y^2 + z^2 \leq 16$.

5. Se D é a região triangular limitada pelas retas $2y = x$, $y = 2x$ e $x = \pi$, calcule $\int_D \text{sen } y dA$.

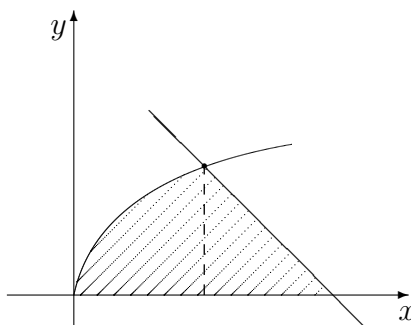
6. Seja D o conjunto de pontos $(x, y) \in \mathbb{R}^2$, tais que $x \geq 0$, $y \geq x^2$ e $y \leq 2 - x^2$. Calcule $\int_D \sqrt{xy} dA$.

7. Ao se estabelecer a integral dupla que dará o volume V sob o parabolóide $z = x^2 + y^2$ e acima de uma certa região R do plano xy , chegou-se a seguinte expressão:

$$V = \int_0^1 dy \int_0^y (x^2 + y^2) dx + \int_1^2 dy \int_0^{2-y} (x^2 + y^2) dx.$$

Desenhe a região R .

8. Ache a área da região do plano xy limitada pelos gráficos de $x = y^3$, $x + y = 2$ e $y = 0$, desenhada abaixo.

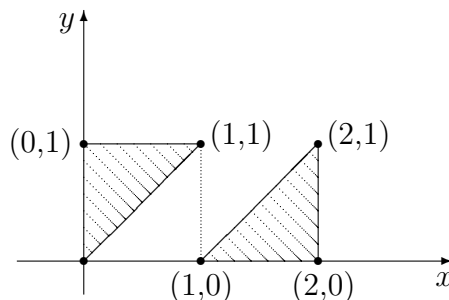


9. Justifique a afirmação, usando as propriedades conhecidas das integrais:

Se f é contínua em uma região limitada $R \subset \mathbb{R}^2$ com fronteira de R contida em um número finito de conjuntos suaves, então:

$$\left| \int_R f(x, y) dx dy \right| \leq \int_R |f(x, y)| dx dy$$

10. Calcule a integral $\int_B x dx dy$ onde B é o conjunto representado a seguir:



11. Responda, justificando:

(a) Seja $f : \mathbb{R}^2 \rightarrow \mathbb{R}$ definida por

$$f(x, y) = \begin{cases} 1 & , \text{ se } x \neq \frac{1}{n} \text{ , } n \in \mathbb{N} \\ \frac{1}{n} & , \text{ se } x = \frac{1}{n} \text{ , } n \in \mathbb{N} \end{cases}$$

Considere $B = [\frac{1}{4}, 1] \times [0, 2]$.

Então, $\int_B f dA = \frac{3}{2}$.

(b) $2\pi e^{-4} \leq \int_R e^{-x^2-y^2} dx dy \leq 2\pi$, onde $R = \left\{ (x, y) \in \mathbb{R}^2 / \frac{x^2}{4} + y^2 \leq 1 \right\}$.

(c) $V(B) = \sqrt{2}$, onde $B = \left\{ \left(\frac{1}{n}, \frac{1}{n} \right) / n \in \mathbb{N} \right\} \cup \{(0, 0)\}$.

1.3 Mudança de Variáveis

A troca de variáveis para integrais 1-dimensionais é dada por:

$$\int_{\phi(a)}^{\phi(b)} f(x) dx = \int_a^b f(\phi(u)) \phi'(u) du \quad (x = \phi(u))$$

Este resultado será estendido para dimensões mais altas.

Num espaço n -dimensional, uma troca de variáveis é efetuada por uma transformação $\mathbb{R}^n \xrightarrow{T} \mathbb{R}^n$.

No que se segue, é mais conveniente tomar o espaço domínio e o espaço de chegada como distintos. Assim, consideramos T como uma transformação de uma cópia do \mathbb{R}^n (a qual chamamos de U^n), em outra do \mathbb{R}^n (a qual continuaremos chamando de \mathbb{R}^n), e escrevemos $T(u) = x$, onde $u \in U^n$ e $x \in \mathbb{R}^n$.

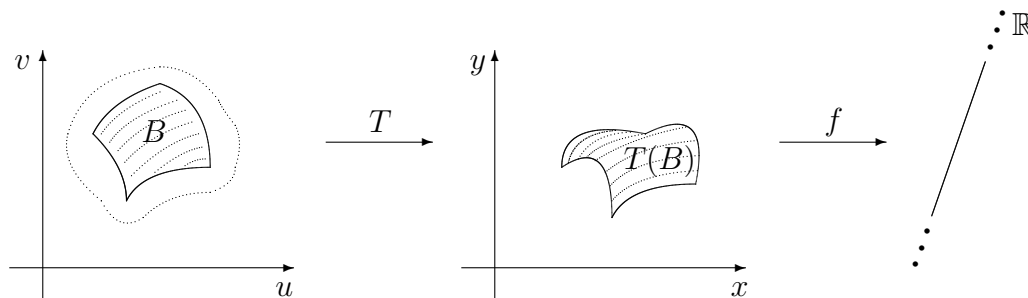
Teorema 1.3.1. (Mudança de Variáveis) *Seja $A \subset U^n \xrightarrow{T} \mathbb{R}^n$ uma transformação de classe C^1 . Seja B um subconjunto limitado de U^n , tendo sua fronteira contida em um número finito de conjuntos suaves. Suponhamos que B e sua fronteira estejam contidos no interior do domínio de T e que:*

(i) T é injetora em B .

(ii) $\det J(T) \neq 0$ para todo ponto de B .

Então, se a função f é limitada e contínua sobre $T(B)$, temos:

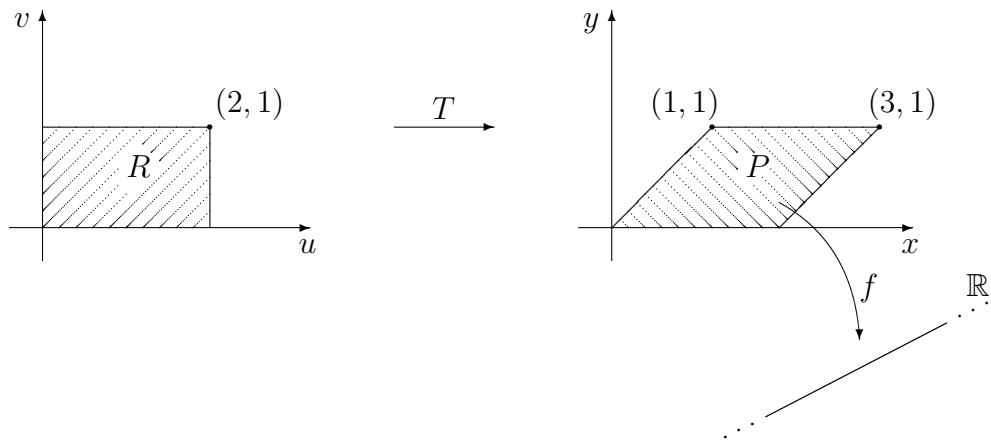
$$\int_{T(B)} f \, dv = \int_B (f \circ T) \cdot |\det J(T)| \, dv$$



Observação: O teorema ainda é verdadeiro se as condições (i) e (ii) **não** são verdadeiras em um conjunto de volume nulo.

Exemplos:

1. A integral $\int_P (x + y) \, dx \, dy$, onde P é o paralelogramo ilustrado abaixo, pode ser transformada na integral sobre um retângulo:



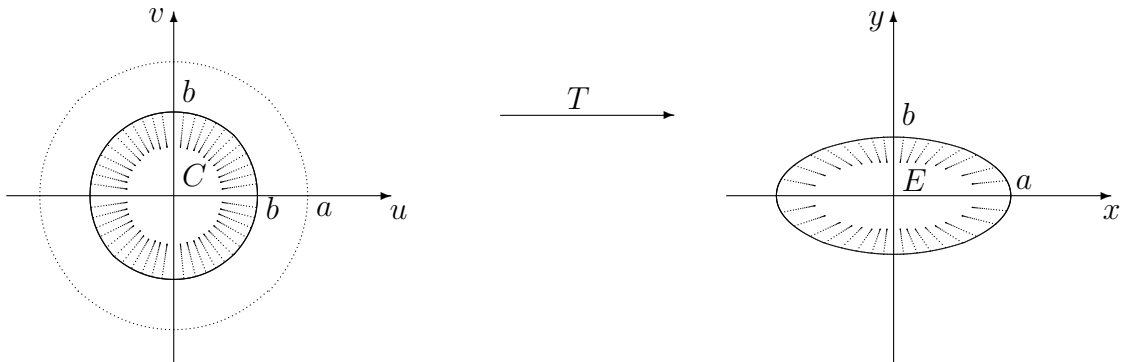
$$(x, y) = T(u, v) = (u + v, v)$$

$$\det J(T) = \begin{vmatrix} 1 & 1 \\ 0 & 1 \end{vmatrix} = 1 \neq 0$$

T é injetora, T é de classe C^1 e $T(R) = P$.

$$\int_P (x + y) dx dy = \int_R [(u + v) + v] \cdot 1 du dv = \int_0^2 du \int_0^1 (u + 2v) dv = \dots = 4$$

2. Calcular a área da região limitada pela elipse, conhecendo-se a do círculo.



$$(x, y) = T(u, v) = \left(\frac{a}{b} u, v \right)$$

T é injetora, T é de classe C^1 e $T(C) = E$.

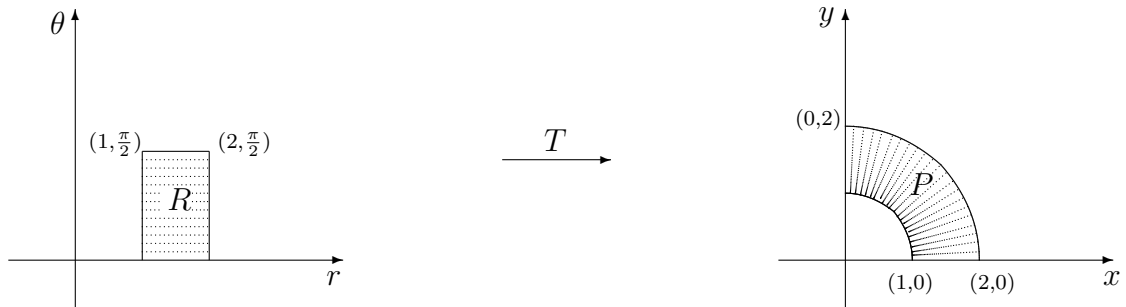
$$\det J(T) = \begin{vmatrix} a/b & 0 \\ 0 & 1 \end{vmatrix} = \frac{a}{b} > 0.$$

Pelo Teorema de Mudança de Variáveis

$$\int_E dA = \int_C \frac{a}{b} dA = \frac{a}{b} \int_C dA = \frac{a}{b} \pi b^2 = \pi ab.$$

Logo, a área da região limitada pela elipse $\frac{x^2}{a^2} + \frac{y^2}{b^2} = 1$ é πab .

3. Calcular a área da região P dada abaixo:



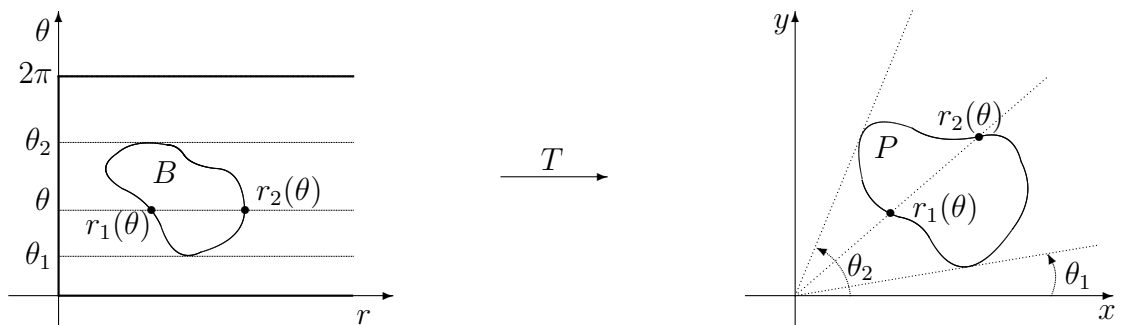
Observe que $T(r, \theta) = (r \cos \theta, r \sin \theta)$ transforma o retângulo R do plano $r\theta$ no setor P do plano xy .

T é de classe C^1 , T é injetora

$$\det J(T) = \begin{vmatrix} \cos \theta & -r \sin \theta \\ \sin \theta & r \cos \theta \end{vmatrix} = r$$

$$\int_P dA = \int_R 1 \cdot |r| dA = \int_0^{\pi/2} d\theta \int_1^2 r dr = \int_0^{\pi/2} \frac{3}{2} d\theta = \frac{3\pi}{4}.$$

Na realidade, o exemplo anterior envolve um dos casos mais importantes de transformação de coordenadas, que é a **transformação polar**.



$(x, y) = T(r, \theta) = (r \cos \theta, r \sin \theta)$ onde $0 \leq r$ e $0 \leq \theta < 2\pi$.

T é de classe C^1 e injetora (exceto em um conjunto de área nula)

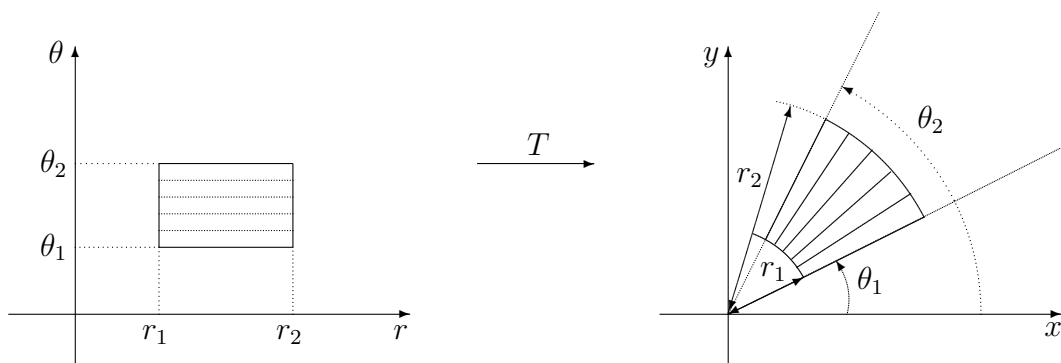
$$\det J(T) = \begin{vmatrix} \cos \theta & -r \operatorname{sen} \theta \\ \operatorname{sen} \theta & r \cos \theta \end{vmatrix} = r$$

$\therefore \det J(T)$ é não nulo, exceto em um conjunto de área nula.

A fórmula de mudança fica:

$$\int_P f(x, y) dx dy = \int_B f(r \cos \theta, r \operatorname{sen} \theta) r dr d\theta = \int_{\theta_1}^{\theta_2} d\theta \int_{r_1(\theta)}^{r_2(\theta)} f(r \cos \theta, r \operatorname{sen} \theta) r dr.$$

Observemos a seguir como a transformação polar atua:

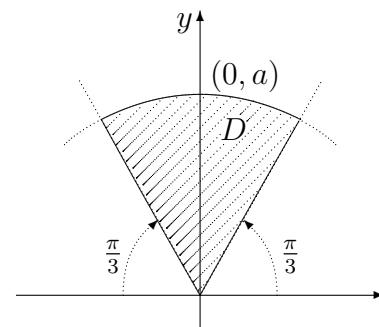


Exercícios resolvidos:

1. Determinar $\int_D y dx dy$, onde D é o setor circular mostrado abaixo.

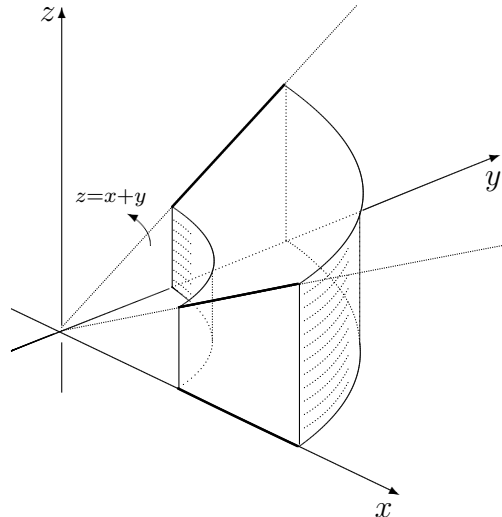
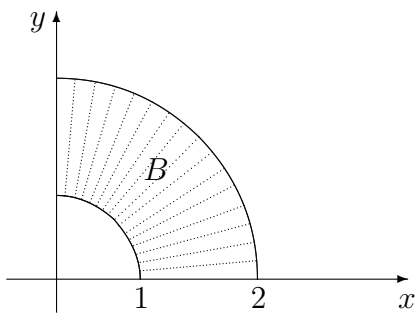
Resolução:

$$\begin{aligned} \int_D y dx dy &= \int_{\pi/3}^{2\pi/3} d\theta \int_0^a r \operatorname{sen} \theta r dr = \\ &= \int_{\pi/3}^{2\pi/3} \frac{a^3}{3} \operatorname{sen} \theta d\theta = \dots = \frac{a^3}{3} \end{aligned}$$



2. Calcule o volume do sólido D cuja base está no plano xy , sendo delimitada pelas curvas $x^2 + y^2 = 1$ e $x^2 + y^2 = 4$ ($x \geq 0, y \geq 0$) e cuja parte superior está no plano $z = x + y$, tendo as faces laterais ortogonais ao plano xy .

Resolução:



$$V = \int_B (x + y) dx dy = \int_0^{\pi/2} d\theta \int_1^2 (r \cos \theta + r \sin \theta) r dr = \dots = \frac{14}{3}$$

3. Calcular a área de um laço da figura $r = \text{sen } 3\theta$.

Resolução:

Precisamos ter $\text{sen } 3\theta \geq 0$. Assim:

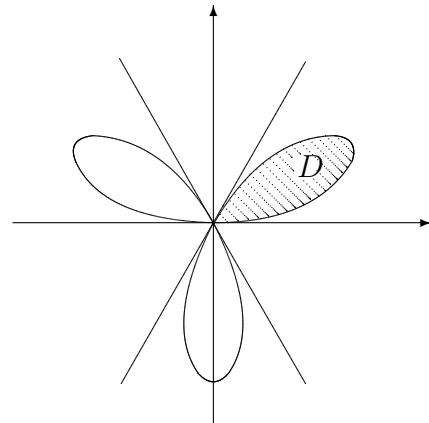
$$2k\pi \leq 3\theta \leq 2k\pi + \pi$$

$$\frac{2}{3}k\pi \leq \theta \leq \frac{2}{3}k\pi + \frac{\pi}{3}$$

$$k = 0 \quad 0 \leq \theta \leq \frac{\pi}{3}$$

$$k = 1 \quad \frac{2\pi}{3} \leq \theta \leq \pi$$

$$k = 2 \quad \frac{4\pi}{3} \leq \theta \leq \frac{5\pi}{3}$$

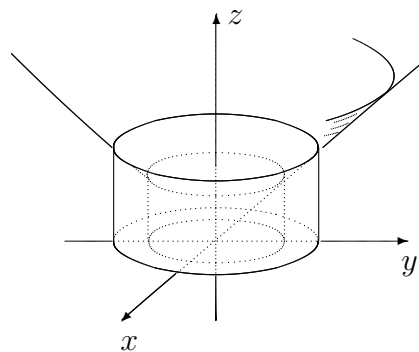
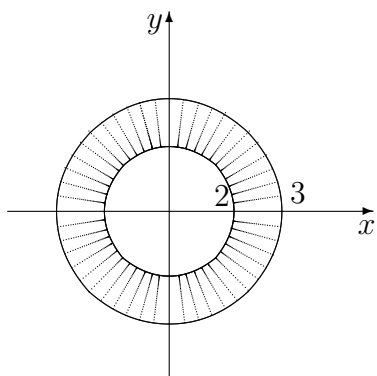


$$\int_D dx dy = \int_0^{\pi/3} d\theta \int_0^{\text{sen } 3\theta} r dr = \int_0^{\pi/3} \frac{\text{sen}^2 3\theta}{2} d\theta = \dots = \frac{\pi}{12}$$

Lembrar: $\text{sen}^2 u = \frac{1}{2} (1 - \cos 2u)$

4. Calcular $\int_D \sqrt{x^2 + y^2} dx dy$, onde D é o domínio do plano xy limitado por $x^2 + y^2 = 4$ e $x^2 + y^2 = 9$.

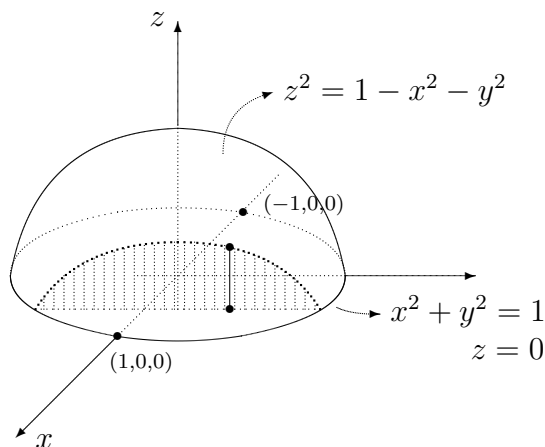
Resolução:



$$\int_D \sqrt{x^2 + y^2} dx dy = \int_0^{2\pi} d\theta \int_2^3 r r dr = \int_0^{2\pi} \frac{19}{3} d\theta = \frac{38}{3} \pi$$

5. Determinar os extremos de integração onde R é o hemisfério $x^2 + y^2 + z^2 \leq 1$, $z \geq 0$.

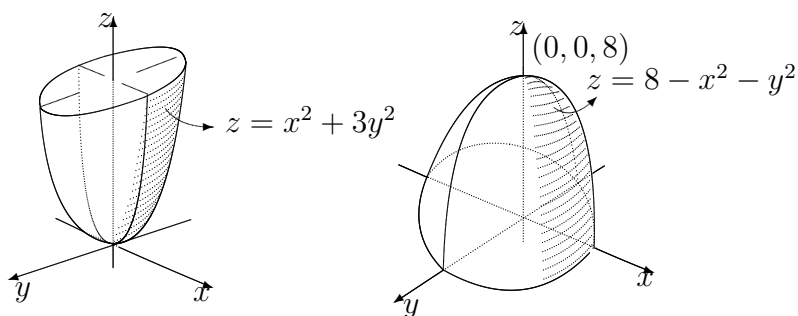
Resolução:

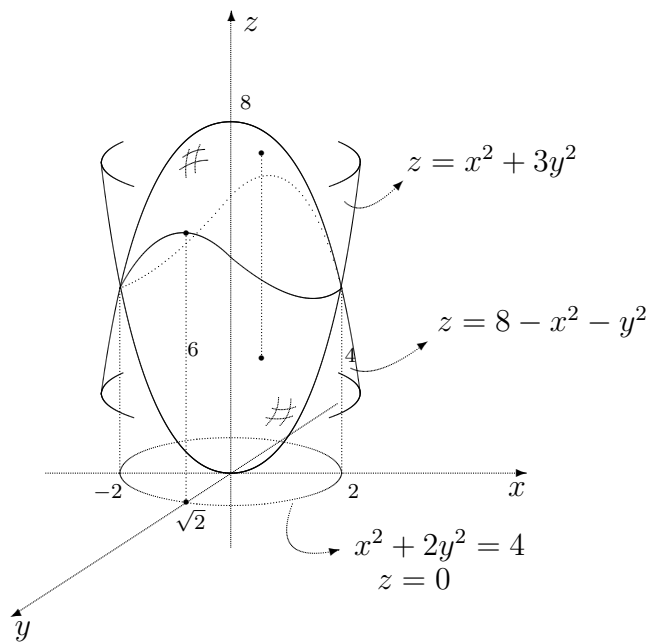


$$\int_R f(x, y, z) dv = \int_{-1}^1 dx \int_{-\sqrt{1-x^2}}^{\sqrt{1-x^2}} dy \int_0^{\sqrt{1-x^2-y^2}} f(x, y, z) dz$$

6. Determinar o volume compreendido entre as superfícies $z = 8 - x^2 - y^2$ e $z = x^2 + 3y^2$

Resolução:





Se um ponto (x, y, z) está na intersecção então:

$$x^2 + 3y^2 = 8 - x^2 - y^2 \implies x^2 + 2y^2 = 4$$

Assim a curva intersecção se projeta em $x^2 + 2y^2 = 4, z = 0$.

$$\begin{aligned} V &= \int_{-2}^2 dx \int_{-\sqrt{(4-x^2)/2}}^{\sqrt{(4-x^2)/2}} dy \int_{x^2+3y^2}^{8-x^2-y^2} dz = \\ &= \int_{-2}^2 dx \int_{-\sqrt{(4-x^2)/2}}^{\sqrt{(4-x^2)/2}} (8 - 2x^2 - 4y^2) dy = \\ &= \int_{-2}^2 \left[2(8 - 2x^2)\sqrt{(4-x^2)/2} - \frac{8}{3} \left(\frac{4-x^2}{2} \right)^{3/2} \right] dx = \\ &= \int_{-2}^2 \frac{16}{3} \left(\frac{4-x^2}{2} \right)^{3/2} dx = 4 \frac{\sqrt{2}}{3} \int_{-2}^2 (4-x^2)^{3/2} dx = \dots = 8\pi\sqrt{2} \end{aligned}$$

Lembre-se: você pode fazer uma substituição trigonométrica para resolver a integral.



Vamos agora estudar dois tipos particulares de transformações as quais são usadas muito freqüentemente.

Transformação Cilíndrica

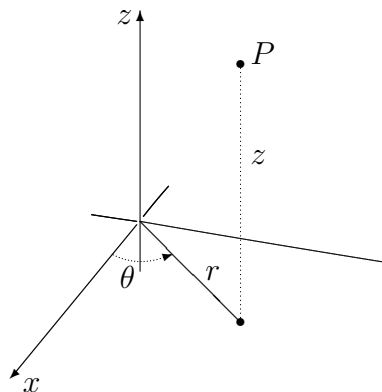
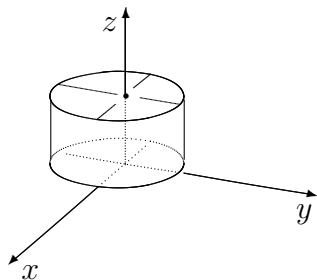
Consideremos a transformação:

$$(x, y, z) = T_c(r, \theta, z) = (r \cos \theta, r \operatorname{sen} \theta, z)$$

$$\det J(T_c) = \begin{vmatrix} \cos \theta & -r \operatorname{sen} \theta & 0 \\ \operatorname{sen} \theta & r \cos \theta & 0 \\ 0 & 0 & 1 \end{vmatrix} = r$$

Notemos que:

- (i) T_c é de classe C^1 .
- (ii) T_c é injetora (exceto em conjunto de volume nulo - $r = 0$).
- (iii) $\det JT_c \neq 0$ (exceto em conjunto de volume nulo - $r = 0$)

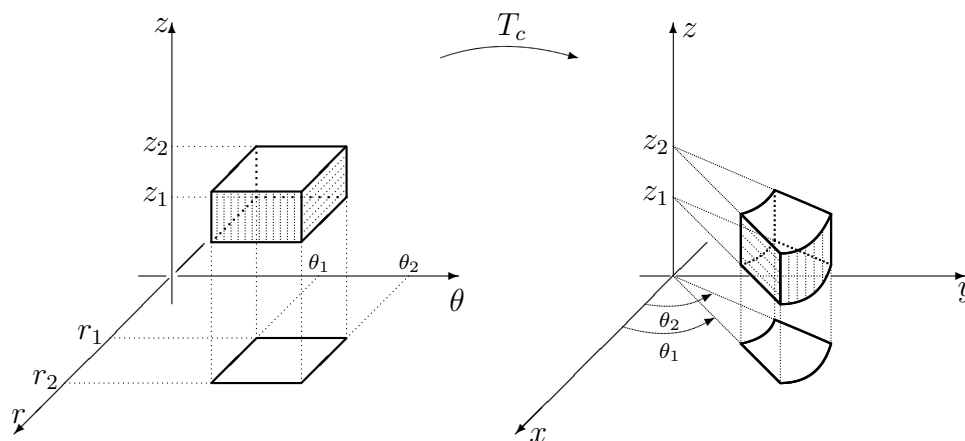


Exemplo:

Calcular $\int_R f(x, y, z) dv$, onde $f(x, y, z) = 4xy$ e R é a região cilíndrica $x^2 + y^2 \leq 1$, $0 \leq z \leq 1$.

$$\begin{aligned} \int_R 4xy dv &= \int_0^{2\pi} d\theta \int_0^1 dr \int_0^1 4r^2 \operatorname{sen} \theta \cos \theta r dz = \\ &= \int_0^{2\pi} \operatorname{sen} \theta \cos \theta d\theta \stackrel{u = \operatorname{sen} \theta}{=} \frac{\operatorname{sen}^2 \theta}{2} \Big|_0^{2\pi} = 0 \end{aligned}$$

A figura geral a seguir informa qual é o efeito provocado pela atuação da transformação cilíndrica:



A segunda transformação a merecer um destaque especial seria a

Transformação Esférica

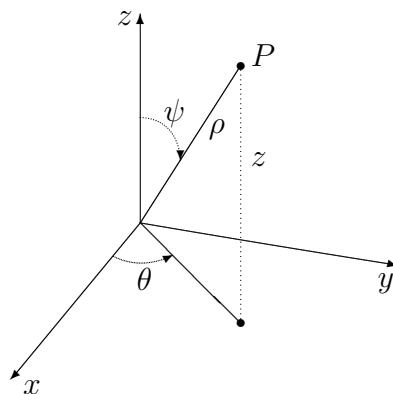
Consideremos a transformação:

$$(x, y, z) = T_e(\rho, \psi, \theta) = (\rho \operatorname{sen} \psi \cos \theta, \rho \operatorname{sen} \psi \operatorname{sen} \theta, \rho \cos \psi)$$

$$\det J(T_e) = \begin{vmatrix} \operatorname{sen} \psi \cos \theta & \rho \cos \psi \cos \theta & -\rho \operatorname{sen} \psi \operatorname{sen} \theta \\ \operatorname{sen} \psi \operatorname{sen} \theta & \rho \cos \psi \operatorname{sen} \theta & \rho \operatorname{sen} \psi \cos \theta \\ \cos \psi & -\rho \operatorname{sen} \psi & 0 \end{vmatrix} = \dots = \rho^2 \operatorname{sen} \psi$$

Notemos que:

- (i) T_e é de classe C^1 .
- (ii) T_e é injetora (exceto em conjunto de volume nulo - $\rho = 0$).
- (iii) $\det JT_e \neq 0$ (exceto em conjunto de volume nulo- $\rho = 0$ ou $\psi = 0$ ou $\psi = \pi$)



Exemplo 1:

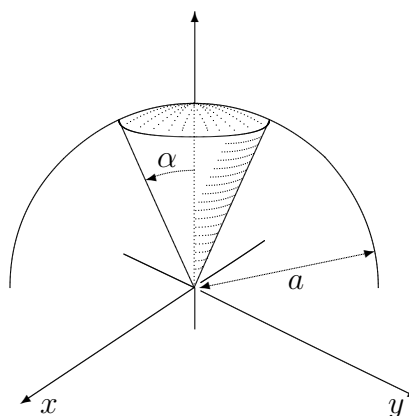
Calcular $\int_B f(x, y, z)dv$, onde $f(x, y, z) = z^2$ e B é a região $x^2 + y^2 + z^2 \leq 1$.

$$\int_B z^2 dv = \int_0^{2\pi} d\theta \int_0^\pi d\psi \int_0^1 \rho^2 \cos^2 \psi \rho^2 \sin \psi d\rho = \dots = \frac{4\pi}{15}$$

Exemplo 2:

Calcular o volume comum à esfera $\rho = a$ e ao cone $\psi = \alpha$ (Veja figura a seguir)

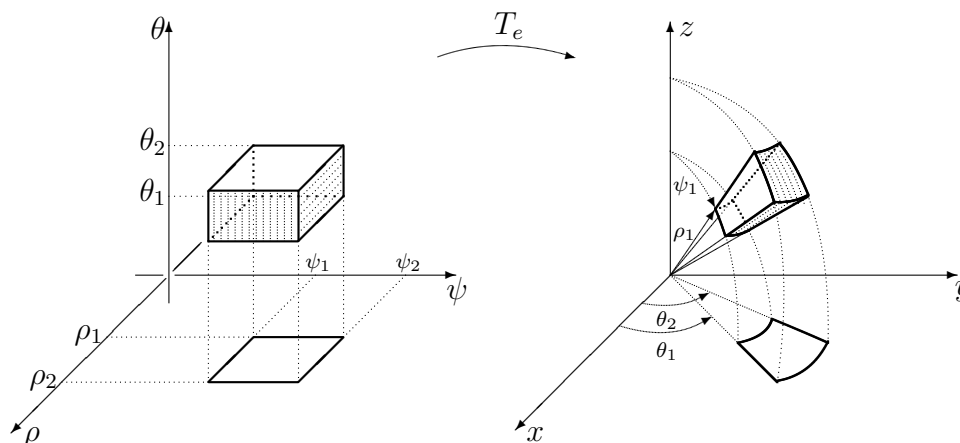
$$\begin{aligned} V &= \int_0^{2\pi} d\theta \int_0^\alpha d\psi \int_0^a \rho^2 \sin \psi d\rho = \\ &= \int_0^{2\pi} d\theta \int_0^\alpha \sin \psi d\psi = \\ &= \int_0^{2\pi} \frac{a^3}{3} (1 - \cos \alpha) d\theta = \\ &= 2\pi \frac{a^3}{3} (1 - \cos \alpha). \end{aligned}$$



Observemos os casos particulares:

$$\begin{aligned} \alpha = \frac{\pi}{2} &\rightarrow \text{hemisfério} & V &= 2\pi \frac{a^3}{3} \\ \alpha = \pi &\rightarrow \text{esfera} & V &= \frac{4}{3} \pi a^3 \end{aligned}$$

A figura geral a seguir informa qual é o efeito provocado pela atuação da transformação esférica:



Exercícios propostos 1.3

1. Calcule a área da imagem da região retangular com vértices $(0, 0)$, $(0, 1)$, $(2, 0)$ e $(2, 1)$, sob a transformação

$$(x, y) = T(u, v) = \begin{bmatrix} 2 & 3 \\ 2 & 1 \end{bmatrix} \begin{bmatrix} u \\ v \end{bmatrix}$$

2. Seja $(x, y) = T(r, \theta) = (r \cos \theta, r \sin \theta)$.

(a) Desenhe a imagem, sob T , da região quadrada de vértices $(0, 0)$, $(0, \frac{\pi}{2})$, $(\frac{\pi}{2}, 0)$ e $(\frac{\pi}{2}, \frac{\pi}{2})$.

(b) Qual é a área da região desenhada em (a) ?

3. Prove que a transformação $T : U^3 \rightarrow R^3$ dada por $(x, y, z) = T(u, v, w) = (u, u + v, u + v + w)$, não altera o volume de regiões correspondentes.

4. Ache o volume do sólido V limitado pelo parabolóide $z = 4 - x^2 - y^2$ e pelo plano xy .

Sugestão: Coordenada polar.

5. Calcule:

(a) O volume da região abaixo do plano $z = 2 + x + y$ para $x^2 + y^2 \leq 1$.

(b) O volume do cone sólido acima da superfície $z = \frac{h}{a} \sqrt{x^2 + y^2}$ e abaixo do plano $z = h$; para $h, a > 0$.

6. Avaliar com a ajuda de coordenadas polares:

(a) $\int_R \sqrt{x^2 + y^2} dx dy$ $R : x^2 + y^2 \leq 4$

(b) $\int_R xy dx dy$ $R : \begin{cases} 0 \leq y \leq \frac{\sqrt{2}}{2} \\ y \leq x \leq \sqrt{1 - y^2} \end{cases}$

(c) $\int_R r^2 \cos \theta dr d\theta$ $R : \begin{cases} 0 \leq \theta \leq \frac{\pi}{2} \\ 1 \leq r \leq 1 + \sin \theta \end{cases}$

7. Avaliar com a ajuda de coordenadas cilíndricas:

$$(a) \int_R xy \, dx \, dy \, dz \quad R : x^2 + y^2 \leq 1, \quad x \geq 0, \quad y \geq 0, \quad 0 \leq z \leq 1$$

$$(b) \int_R r^2 \, dr \, d\theta \, dz \quad R : \begin{cases} 0 \leq r \leq 1 \\ 0 \leq \theta \leq \pi \\ 0 \leq z \leq r \operatorname{sen} \theta \end{cases}$$

8. Avaliar com a ajuda de coordenadas esféricas:

$$(a) \int_R (x^2 + y^2 + z^2)^{3/2} \, dx \, dy \, dz \quad R : x^2 + y^2 + z^2 \leq 1$$

$$(b) \int_R \rho \cos(\psi + \theta) \, d\rho \, d\psi \, d\theta \quad R : \begin{cases} 0 \leq \rho \leq 1 \\ 0 \leq \theta \leq \frac{\pi}{2} \\ 0 \leq \psi \leq \theta \end{cases}$$

9. Seja a transformação $T(u, v) = (u + v, u^2 - v) = (x, y)$. Considere R a região limitada pelo eixo u , pelo eixo v e pela reta $u + v = 2$.

(a) Desenhe $T(R)$.

(b) Calcule $\int_{T(R)} \frac{1}{\sqrt{1 + 4x + 4y}} \, dx \, dy$

10. Seja a transformação do plano xy no plano uv dada por:

$$(u, v) = T(x, y) = (x, y(1 + 2x))$$

(a) O que acontece com as retas horizontais do plano xy ?

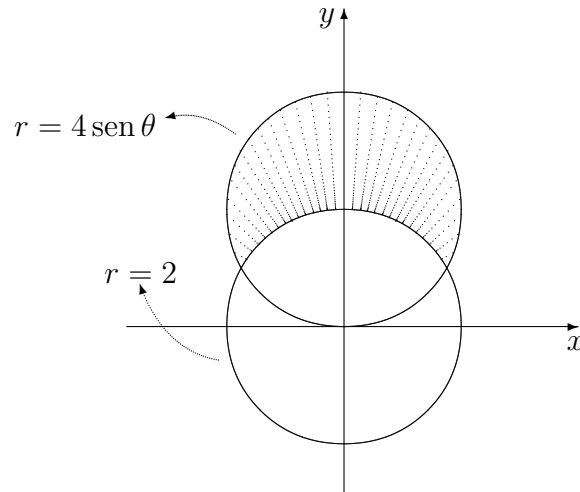
(b) Se R é a região retangular $0 \leq x \leq 3, 1 \leq y \leq 3$ ache $T(R) = D$.

(c) Calcule $\int_D du \, dv$ diretamente e depois usando mudança de variáveis.

11. Faz-se um orifício circular em uma esfera, sendo que o eixo do orifício coincide com o diâmetro da esfera. O volume do sólido resultante é dado por:

$$V = 2 \int_0^{2\pi} d\theta \int_1^2 dr \int_0^{\sqrt{4-r^2}} r \, dz .$$

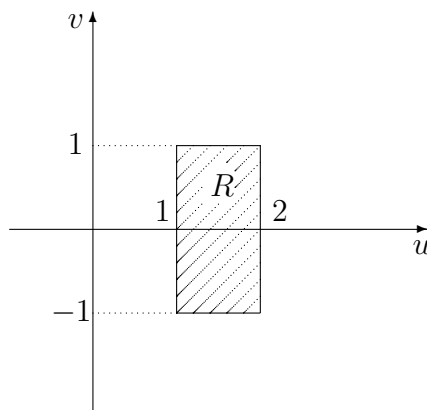
- (a) Por observação da integral acima determine o raio do orifício e o raio da esfera.
- (b) Calcule o valor da integral.
12. Ache o volume de uma cunha formada pelo cilindro $x^2 + y^2 = 4$ e pelos planos $z = 0$ e $z = 2y$, no semi-espaço $z \geq 0$.
13. Calcule $\int_B \frac{1}{\sqrt{x^2 + y^2}} dx dy$ onde B é a região hachurada abaixo:



14. Considere a transformação $T(u, v) = (u^2 - v^2, 2uv) = (x, y)$.

(a) Qual é a imagem, por T , da região mostrada a seguir.

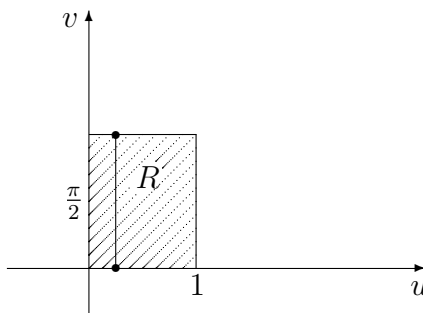
(b) Calcular $\int_{T(R)} x dx dy$



15. Considere a transformação $T(u, v) = (e^u \cos v, e^u \sin v) = (x, y)$.

(a) Qual é a imagem, por T , da região mostrada a seguir.

(b) Calcular a área da região $T(R)$.



16. Calcular o volume compreendido entre as superfícies $z = x^2 + y^2$ e $z = 8 - x^2 - y^2$.

17. Calcular o volume do sólido delimitado por $z = e^{y^2}$, $z = 0$, $x = 0$, $y = 3$ e $3x = y$.

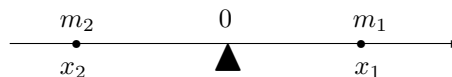
1.4 Algumas Aplicações

Já usamos as integrais múltiplas para calcular áreas de figuras planas e volumes de sólidos. Vejamos agora outras aplicações.

1.4.1 Densidade - Centro de Massa

Introdução:

Consideremos ℓ uma reta coordenada e P um ponto sobre ℓ , de coordenada x . Se uma partícula de massa m é colocada em P , então o momento da partícula em relação à origem O é definido como o produto mx . Consideremos uma “balança” do tipo desenhado abaixo, onde duas partículas de massas m_1 e m_2 estão localizadas em pontos com coordenadas x_1 e x_2 , respectivamente, sendo $x_1 > 0$ e $x_2 < 0$. Então o sistema é dito em equilíbrio se $m_1x_1 = m_2|x_2|$, ou seja, $m_1x_1 = -m_2x_2$, ou ainda, $m_1x_1 + m_2x_2 = 0$, isto é, a soma dos momentos em relação à origem é zero.



Em geral:

Se n partículas de massas m_1, \dots, m_n estão localizadas em pontos de ℓ com coordenadas x_1, \dots, x_n , respectivamente, então a soma dos momentos $\sum_{i=1}^n m_i x_i$ é chamada o momento do sistema em relação à origem.

Seja $m = \sum_{i=1}^n m_i$ a massa total dos sistema. Definimos:

$$(*) \quad \bar{x} = \frac{\sum_{i=1}^n m_i x_i}{m} \quad \text{ou} \quad m\bar{x} = \sum_{i=1}^n m_i x_i$$

O número $m\bar{x}$ é o momento, em relação à origem, de uma partícula de massa m localizada no ponto de coordenada \bar{x} . A fórmula (*) dá a posição \bar{x} na qual toda a massa m pode ser concentrada sem trocar o momento do sistema em relação à origem. O ponto P com coordenada \bar{x} é chamado o centro de massa do sistema.

Se $\bar{x} = 0$, então $\sum_i m_i x_i = 0$ e o sistema é dito em equilíbrio. Neste caso, a origem é o centro de massa.

O conceito anterior pode ser estendido para dimensão 2, como segue:

Sejam n partículas de massas m_1, \dots, m_n , localizadas em pontos $P_1 = (x_1, y_1), \dots, P_n = (x_n, y_n)$, respectivamente, sobre um plano coordenado. Os momentos M_x e M_y do sistema em relação aos eixos x e y , respectivamente, são definidos por:

$$M_x = \sum_{i=1}^n m_i y_i \quad M_y = \sum_{i=1}^n m_i x_i$$

Se m denota a massa total do sistema ($m = \sum_i m_i$), então o centro de massa do sistema é o ponto $P = (\bar{x}, \bar{y})$, dado por:

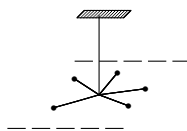
$$(**) \quad m\bar{x} = M_y \quad \text{e} \quad m\bar{y} = M_x$$

Observe que se tivermos uma partícula de massa m localizada no ponto $P = (\bar{x}, \bar{y})$, então o momento em relação ao eixo y será $m\bar{x}$ e o momento em relação ao eixo x será $m\bar{y}$.

A fórmula (**) dá a posição (\bar{x}, \bar{y}) , na qual toda massa pode ser concentrada sem trocar os momentos do sistema em relação aos eixos coordenados.

Se $(\bar{x}, \bar{y}) = (0, 0)$, então $M_x = M_y = 0$ e o sistema é dito em equilíbrio. Neste caso a origem coincide com o centro de massa. O centro de massa é o ponto pelo qual poderíamos pendurar o sistema de modo que ele fique em equilíbrio na horizontal.

Visualização: Suponhamos que num plano temos 5 partículas constituindo um “mobile” do tipo da figura a seguir. Se quisermos através de um fio, prender este “mobile” ao teto, de maneira que o plano das partículas fique na posição horizontal, deveremos prender o fio no centro de massa do sistema.

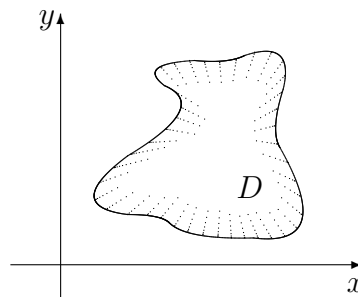


Consideremos agora uma lâmina L com a forma da região D ao lado.

Suponhamos que a densidade no ponto (x, y) seja dada por $\rho(x, y)$, onde ρ é contínua sobre D .

Tomemos G uma rede cobrindo D .

Escolhemos pontos (x_i, y_i) nos retângulos coordenados R_i . Chamaremos de L_i a parte de L que corresponde a R_i . Desde que ρ



seja contínua, uma pequena troca em (x, y) produz uma pequena troca na densidade $\rho(x, y)$, isto é, ρ é quase constante sobre R_i , quando $m(G) \rightarrow 0$. Assim, se $m(G) \rightarrow 0$, então a massa de L_i pode ser aproximada por $\rho(x_i, y_i) \cdot A(R_i)$. A soma $\sum_i \rho(x_i, y_i) \cdot A(R_i)$ é uma aproximação da massa de L . A massa M de L é definida como:

$$M = \lim_{m(G) \rightarrow 0} \sum_i \rho(x_i, y_i) A(R_i) = \int_D \rho(x, y) dA$$

Em particular, se a distribuição de massa M for homogênea, isto é, $\rho(x, y) = c$, então:

$$M = c \int_D dA = c \cdot (\text{área de } D)$$

Ainda: a densidade média da lâmina L é

$$\bar{\rho} = \frac{\text{massa}}{\text{área}} = \frac{\int_D \rho(x, y) dA}{\int_D dA}$$

Se a massa de L_i é suposta concentrada em (x_i, y_i) então o momento de L_i em relação ao eixo x é $y_i \rho(x_i, y_i) A(R_i)$. O momento M_x de L em relação ao eixo x é definido como o limite de tais somas, isto é:

$$(**) \quad M_x = \lim_{m(G) \rightarrow 0} \sum_i y_i \cdot \rho(x_i, y_i) \cdot A(R_i) = \int_D y \cdot \rho(x, y) dA$$

Analogamente:

$$M_y = \lim_{m(G) \rightarrow 0} \sum_i x_i \cdot \rho(x_i, y_i) \cdot A(R_i) = \int_D x \cdot \rho(x, y) dA$$

Ainda, o centro de massa da lâmina L é o ponto (\bar{x}, \bar{y}) , tal que:

$$\bar{x} = \frac{M_y}{M} \quad e \quad \bar{y} = \frac{M_x}{M}$$

Substituindo, temos:

$$\bar{x} = \frac{\int_D x \cdot \rho(x, y) dA}{\int_D \rho(x, y) dA} \quad \text{e} \quad \bar{y} = \frac{\int_D y \cdot \rho(x, y) dA}{\int_D \rho(x, y) dA}$$

No caso particular em que a densidade $\rho(x, y)$ é constante, as expressões acima se reduzem

a:

$$\bar{x} = \frac{\int_D x dA}{\int_D dA} \quad \text{e} \quad \bar{y} = \frac{\int_D y dA}{\int_D dA}$$

Neste caso, o centro de massa é denominado **centróide**. Observe que independe do valor $c = \rho(x, y)$. Deste modo, ele pode ser pensado como um conceito geométrico associado unicamente à forma da região A , independentemente da distribuição de massa.

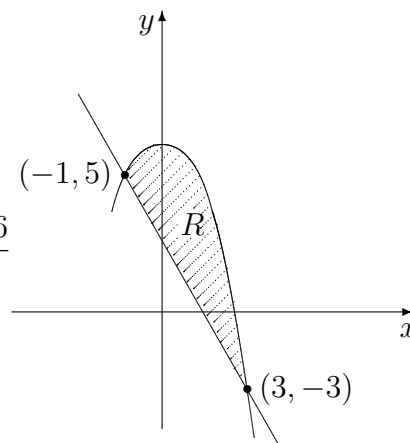
Exercícios resolvidos:

1. Ache o centróide de uma lâmina que ocupa a região D , delimitada pelos gráficos de $y + x^2 = 6$ e $y + 2x - 3 = 0$.

Resolução:

$$A(R) = \int_{-1}^3 ((6 - x^2) - (3 - 2x)) dx = \dots = \frac{32}{3}$$

$$\begin{aligned} \int_D y dA &= \int_{-1}^3 dx \int_{3-2x}^{6-x^2} y dy = \\ &= \int_{-1}^3 ((6 - x^2)^2 - (3 - 2x)^2) dx = \dots = \frac{416}{15} \end{aligned}$$



$$\text{Logo, } \bar{y} = \frac{416/15}{32/3} = \frac{13}{5}$$

$$\int_D x dA = \int_{-1}^3 dx \int_{3-2x}^{6-x^2} x dy = \int_{-1}^3 x [(6 - x^2) - (3 - 2x)] dx = \dots = \frac{32}{3}$$

$$\text{Assim } \bar{x} = \frac{32/3}{32/3} = 1$$

$$\therefore \text{ Centro de Massa é } \left(1, \frac{13}{5} \right).$$

2. Determine o centróide de uma lâmina que ocupa a região R do semicírculo $x^2 + y^2 \leq 1, y \geq 0$.

Resolução:

Por simetria sabemos que o centróide está situado sobre o eixo y , ou seja é da forma $C = (0, \bar{y})$.

Sabemos também que $A(R) = \frac{\pi}{2}$

$$\int_R y \, dA = \int_0^\pi \int_0^1 (r \operatorname{sen} \theta) r \, dr \, d\theta = (-\cos \theta) \Big|_0^\pi \cdot \left(\frac{r^3}{3}\right) \Big|_0^1 = (1 + 1) \cdot \frac{1}{3} = \frac{2}{3}.$$

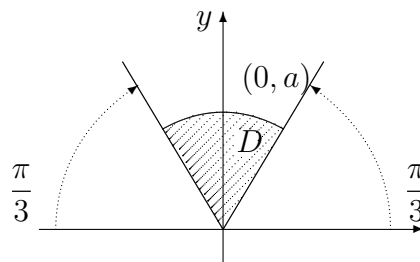
$$\text{Assim temos: } \bar{y} = \frac{\int_D y \, dA}{\int_D dA} = \frac{\frac{2}{3}}{\frac{\pi}{2}} = \frac{4}{3\pi}$$

Logo, o centro de massa é o ponto $\left(0, \frac{4}{3\pi}\right)$

Exercício proposto:

Determine o centro de massa de uma lâmina com a forma do setor circular abaixo, sendo que a densidade é $\rho(x, y) = 5$.

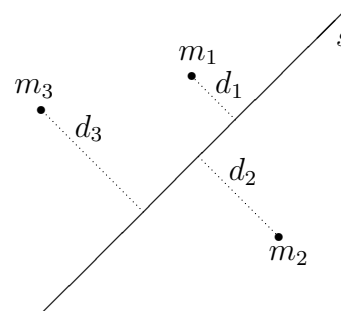
Resposta: $\left(0, \frac{2a}{\pi}\right)$.



1.4.2 Momento de Inércia

Suponhamos dadas uma reta s e massas m_1, m_2, \dots, m_n localizadas nos pontos P_1, \dots, P_n ,

no plano \mathbb{R}^2 . Denotemos por d_1, \dots, d_n as distâncias desses pontos à reta s . Ao número real $I_s = \sum_{i=1}^n m_i d_i^2$ costumamos chamar de momento de inércia do sistema em relação à reta s .



Em particular, se a reta s é o eixo dos x , temos $I_x = \sum_{i=1}^n m_i y_i^2$, onde $P_i = (x_i, y_i)$.

Analogamente $I_y = \sum_{i=1}^n m_i x_i^2$.

Este conceito pode ser estendido para lâminas usando o processo limite das integrais duplas. Se L é uma lâmina do tipo usado na seção anterior e se $\rho(x, y)$ é a densidade em (x, y) , onde ρ é contínua, então é natural definir o momento de inércia I_x de L com relação ao eixo x trocando y_i por y_i^2 em (**). Assim,

$$I_x = \lim_{m(G) \rightarrow 0} \sum_i y_i^2 \cdot \rho(x_i, y_i) \cdot A(R_i) = \int_D y^2 \cdot \rho(x, y) dA$$

Analogamente,

$$I_y = \lim_{m(G) \rightarrow 0} \sum_i x_i^2 \cdot \rho(x_i, y_i) \cdot A(R_i) = \int_D x^2 \cdot \rho(x, y) dA$$

Se multiplicarmos $\rho(x_i, y_i) \cdot A(R_i)$ por $x_i^2 + y_i^2$ que é o quadrado da distância do ponto (x_i, y_i) à origem e tomarmos o limite de somas constituídos por tais termos, obtemos o momento de inércia I_0 de L com relação à origem. Assim,

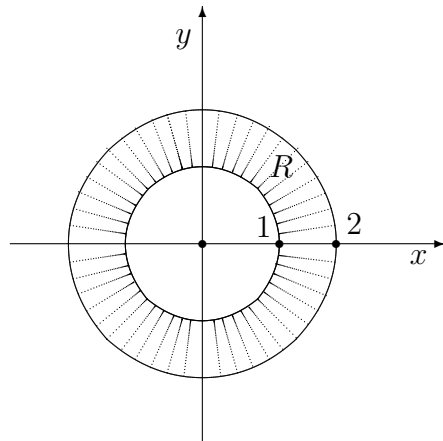
$$I_0 = \int_D (x^2 + y^2) \rho(x, y) dA$$

I_0 é também chamado momento de inércia polar da lâmina L em relação à origem. Observe que $I_0 = I_x + I_y$.

Exemplo:

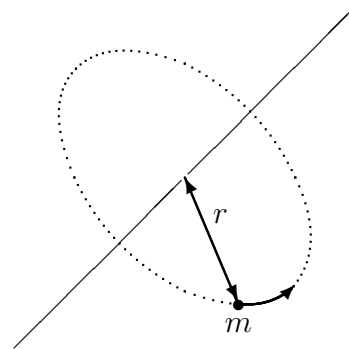
Uma lâmina delgada de densidade constante ocupa a região mostrada abaixo. Calcule o seu momento de inércia polar em relação a 0.

$$\begin{aligned}
I_0 &= \int_R (x^2 + y^2) \rho dA = \\
&= \int_0^{2\pi} d\theta \int_1^2 r^2 \rho r dr = \rho \int_0^{2\pi} \left. \frac{r^4}{4} \right|_1^2 d\theta = \\
&= \rho \int_0^{2\pi} \frac{15}{4} d\theta = \rho \cdot \frac{15\pi}{2} .
\end{aligned}$$



Observação: Quando uma partícula de massa m gira ao redor de um eixo, num círculo de raio r , com velocidade angular w e velocidade v ($v = wr$), sua energia cinética é:

$$E_c = \frac{1}{2} m v^2 = \frac{1}{2} m w^2 r^2$$



Se um sistema de partículas de massas m_1, \dots, m_n gira em torno do mesmo eixo com a mesma velocidade angular, w , as distâncias ao eixo sendo r_1, \dots, r_n , respectivamente, então a energia do sistema é

$$E_c = \frac{1}{2} \sum_{i=1}^n m_i v_i^2 = \frac{1}{2} w^2 \sum_{i=1}^n m_i r_i^2 = \frac{1}{2} w^2 I ,$$

onde $I = \sum_{i=1}^n m_i r_i^2$ é o momento de inércia em relação ao eixo.

A energia cinética de um sistema em rotação é a quantidade de trabalho necessária para fazer o sistema parar. Em certo sentido, o momento de inércia de um grande eixo é que torna difícil iniciar ou fazer cessar a rotação do eixo.

Além de sua importância em relação à energia cinética dos corpos com movimento giratório, o momento de inércia é também usado na teoria de deflexão de vigas sob a ação de carga transversa, onde o “fator de rigidez” da viga é dado por $E.I$, sendo E o módulo de

Young e I o momento de inércia de uma secção transversa da viga em relação a um eixo horizontal passando por seu centro de massa. Quanto maior for o valor de I , mais rígida será a viga e menor a deflexão. Utiliza-se este fato nas chamadas “vigas em I”, nas quais as flanges acham-se a distâncias relativamente grandes do centro, e correspondem, portanto, a grandes valores de r^2 na equação $I = \sum_{i=1}^n m_i r_i^2$, contribuindo assim para o momento de inércia, mais do que no caso de a secção transversa ser quadrada.

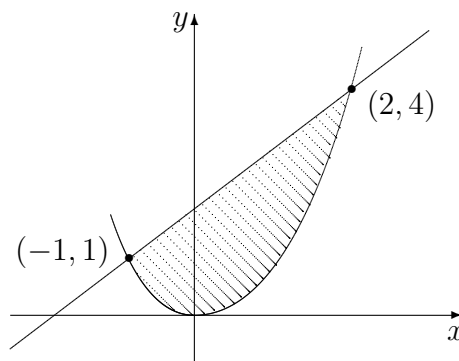
Os momentos também são usados em estatística. O segundo momento (que corresponde ao momento de inércia) é usado no cálculo do desvio padrão.

Exercícios resolvidos:

1. Uma chapa delgada, de espessura e densidade uniformes cobre a região do plano xy situada entre $y = x^2$ e $y = x + 2$. Calcular seu momento de inércia em relação ao eixo y .

Resolução:

$$\begin{aligned} I_y &= \int_{-1}^2 dx \int_{x^2}^{x+2} x^2 \cdot \delta dy = \\ &= \delta \int_{-1}^2 x^2 y \Big|_{x^2}^{x+2} dx = \\ &= \delta \int_{-1}^2 (x^3 + 2x^2 - x^4) dx = \frac{63}{20} \delta \end{aligned}$$



2. Determinar o centro de massa de uma placa delgada, de espessura e densidade uniformes, que está sobre a região do plano xy limitada pelas retas $y = 1$, $x = 2$ e $y = 0$ e pela parábola $y = x^2$.

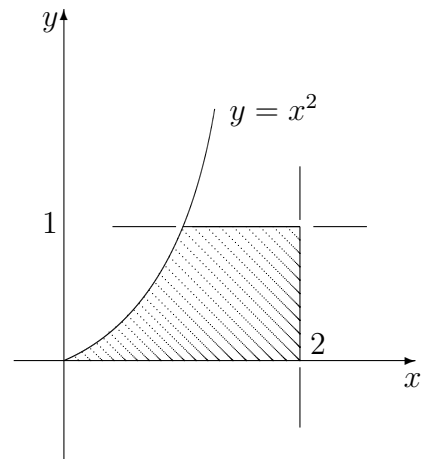
Resolução:

$$\bar{x} = \frac{\int_A x \rho dA}{\int_A \rho dA} = \frac{\int_A x dA}{\int_A dA}$$

$$\int_A dA = \int_0^1 dy \int_{\sqrt{y}}^2 dx = \dots = \frac{4}{3}$$

$$\int_A x dA = \int_0^1 dy \int_{\sqrt{y}}^2 x dx = \dots = \frac{7}{4}$$

$$\therefore \bar{x} = \frac{21}{16}.$$



Analogamente, $\bar{y} = \frac{9}{20}$

\therefore Centro de gravidade: $\left(\frac{21}{16}, \frac{9}{20}\right)$.

3. Ache o centro de massa de uma lâmina quadrada $ABCD$, de lado $\frac{3}{2}$, sabendo que a densidade em qualquer ponto P é o produto das distâncias de P a AB e a BC .

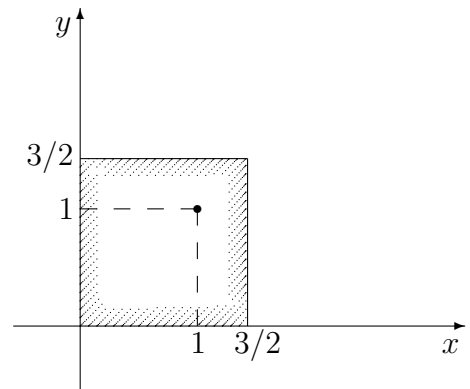
Resolução:

Escolhemos um sistema de coordenadas como na figura. Temos que $\rho(x, y) = xy$

$$M = \int_0^{3/2} dy \int_0^{3/2} xy dx = \dots = \frac{81}{64}$$

$$M_x = \int_0^{3/2} dy \int_0^{3/2} xy^2 dx = \dots = \frac{81}{64}$$

$$M_y = \int_0^{3/2} dy \int_0^{3/2} x^2 y dx = \dots = \frac{81}{64}$$



Assim, $(\bar{x}, \bar{y}) = (1, 1)$ é o centro de massa.

4. Ache o centro de massa de uma lâmina semicircular, sendo a densidade da lâmina em

qualquer ponto P proporcional à distância entre P e o centro do círculo.

Resolução:

Escolhemos um sistema de coordenadas polares, com o semicírculo tendo equação

$$r = a \quad (0 \leq \theta \leq \pi)$$

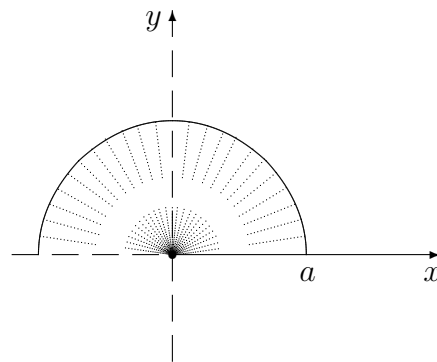
Temos $\rho(r, \theta) = kr$, para alguma constante k .

$$M = \int_0^\pi d\theta \int_0^a (kr)r dr = \frac{k \cdot a^3}{3} \int_0^\pi d\theta = \frac{\pi k \cdot a^3}{3}$$

$$M_x = \int_0^\pi d\theta \int_0^a (kr) \cdot r \sin \theta \cdot r dr = \frac{k \cdot a^4}{4} \int_0^\pi \sin \theta d\theta = \frac{k \cdot a^4}{2}$$

Por simetria, temos que o centro de massa encontra-se sobre o raio $\theta = \frac{\pi}{2}$, ou seja, $M_y = 0$.

Logo, $(\bar{x}, \bar{y}) = \left(0, \frac{3a}{2\pi}\right)$ ou em coordenadas polares $\left(\frac{3a}{2\pi}, \frac{\pi}{2}\right)$.



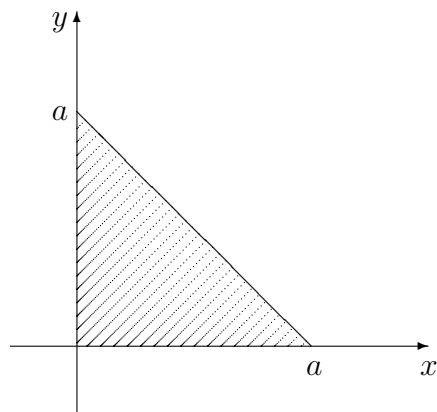
Exercícios propostos:

1. Uma lâmina tem a forma de um triângulo retângulo isósceles, cujos lados iguais medem a . Ache o centro de massa, sabendo que a densidade num ponto P é diretamente proporcional ao quadrado da distância de P ao vértice oposto à hipotenusa.

Resposta: na situação ao lado

o centro de massa é

$$\left(\frac{2a}{5}, \frac{2a}{5}\right).$$



2. Calcular o momento de inércia, em relação ao eixo x , de uma lâmina situada entre as curvas $x = y^2$ e $x = 2y - y^2$, sendo que a densidade em (x, y) é $\rho(x, y) = y + 1$.

Resposta: $\frac{1}{6}$



Tudo o que foi visto nas seções anteriores generaliza-se para sólidos, usando-se integrais triplas.

Se um sólido tem o formato de uma certa região 3-dimensional Q e se a densidade no ponto (x, y, z) é $\rho(x, y, z)$, então analogamente ao visto anteriormente, a massa é dada por:

$$M = \int_Q \rho(x, y, z) dv.$$

Se temos uma partícula de massa m num ponto (x, y, z) , então seus momentos com relação aos planos xy , xz e yz são definidos como zm , ym e xm , respectivamente. Usando os mesmos tipos de argumentos utilizados anteriormente definimos os **momentos** do sólido em relação aos planos coordenados como sendo:

$$\begin{aligned} M_{xy} &= \int_Q z \cdot \rho(x, y, z) dv \\ M_{yz} &= \int_Q x \cdot \rho(x, y, z) dv \\ M_{xz} &= \int_Q y \cdot \rho(x, y, z) dv \end{aligned}$$

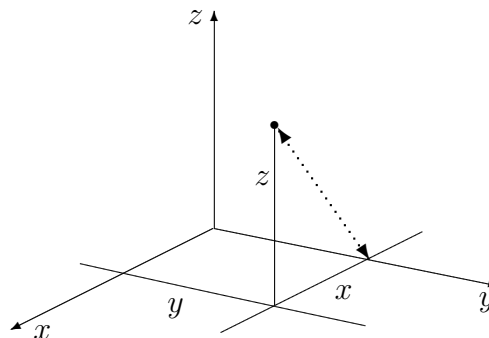
O centro de massa é o ponto $(\bar{x}, \bar{y}, \bar{z})$, onde

$$\bar{x} = \frac{M_{yz}}{M} \quad \bar{y} = \frac{M_{xz}}{M} \quad \bar{z} = \frac{M_{xy}}{M}$$

Quando $\rho(x, y, z) \equiv C$, então o centro de massa é chamado **centróide**. Observemos que ele

independe do valor de $\rho(x, y, z)$.

Se uma partícula de massa m está no ponto (x, y, z) , então seu momento de inércia em relação ao eixo y é $(x^2 + z^2)m$.



Novamente aqui somos levados a definir

$$I_y = \int_Q (x^2 + z^2)\rho(x, y, z)dv$$

Analogamente, temos:

$$I_x = \int_Q (y^2 + z^2)\rho(x, y, z)dv$$

$$I_z = \int_Q (x^2 + y^2)\rho(x, y, z)dv$$

Exemplo:

Considere o sólido com o formato dado abaixo. Ache o seu centro de massa e o momento de inércia em relação ao eixo z . ($\rho(x, y, z) = 1$).

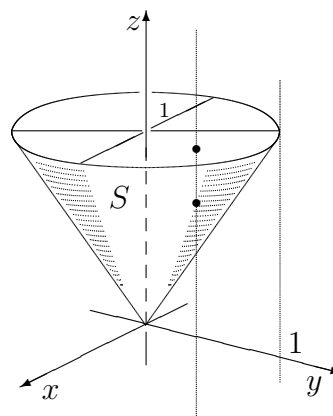
$$\begin{aligned} M &= \int_S 1dv = \int_0^{2\pi} d\theta \int_0^1 dr \int_r^1 r dz = \\ &= \int_0^{2\pi} d\theta \int_0^1 r(1-r)dr = \\ &= \int_0^{2\pi} \left(\frac{1}{2} - \frac{1}{3}\right) d\theta = \frac{\pi}{3} \end{aligned}$$

$$\begin{aligned} M_{xy} &= \int_S z dv = \int_0^{2\pi} d\theta \int_0^1 dr \int_r^1 zr dz = \\ &= \frac{1}{2} \int_0^{2\pi} d\theta \int_0^1 (r - r^3)dr = \frac{1}{2} \int_0^{2\pi} \frac{1}{4} d\theta = \frac{1}{2} \cdot \frac{1}{4} \cdot 2\pi = \frac{\pi}{4} \end{aligned}$$

$$\text{Logo, } \bar{z} = \frac{\pi/4}{\pi/3} = \frac{3}{4}.$$

Por simetria $\bar{x} = \bar{y} = 0$

$$\therefore \text{centro de massa: } \left(0, 0, \frac{3}{4}\right).$$



$$\begin{aligned}
I_z &= \int_S (x^2 + y^2) dv = \int_0^{2\pi} d\theta \int_0^1 dr \int_r^1 r^2 \cdot r dz = \\
&= \int_0^{2\pi} d\theta \int_0^1 r^3(1-r) dr = \int_0^{2\pi} \frac{1}{20} d\theta = \frac{\pi}{10}
\end{aligned}$$

Exercícios propostos:

1. Encontrar o centro de massa da pirâmide homogênea de base delimitada pelas retas $x = 1, x = -1, y = 1, y = -1$ no plano $z = 0$, e cujo vértice é o ponto $(0, 0, 1)$.

Resposta: $(0, 0, \frac{1}{4})$.

2. Use coordenadas cilíndricas para determinar o momento de inércia de uma esfera de raio a e massa M , em relação a um diâmetro. Resposta: $\frac{2}{5} Ma^2$.

3. Calcule $\int \int \int_B x^2 y^2 z dV$, onde B é a bola de raio a e centro na origem do R^3 .

Sugestão: Você pode calcular de uma maneira indireta. Resposta: 0

4. Está claro que se B é a bola de raio 1 e centro na origem então

$$\int \int \int_B [3 + (x^2 + y^2 + z^2) \sin z] dV = 4\pi ?$$

5. Calcule $\int \int_B x^y dA$, onde $B = [0, 1] \times [1, 2]$. Resposta: $\ln(\frac{3}{2})$